

استخراج تغییرات دینامیک الگوی سیگنال الکتروانسفالوگرام در کودکان اُتسمی با استفاده از قطع پوانکاره

قاسم صادقی بجستانی^۱، علی شیخانی^۲، سید محمد رضا هاشمی گلپایگانی^۳، فرح اشرف زاده^۴، پریا حبرانی^۵

^۱ دانشجوی دکتری، دانشگاه آزاد اسلامی، واحد علوم و تحقیقات، گروه مهندسی پزشکی، g.sadeghi@imamreza.ac.ir

^۲ استادیار، دانشگاه آزاد اسلامی واحد علوم و تحقیقات، گروه مهندسی پزشکی، sheikhaliani@yahoo.com

^۳ استاد تمام، دانشگاه امیرکبیر تهران، دانشکده مهندسی پزشکی، hashemi_g@morva.net

^۴ استاد تمام، دانشگاه علوم پزشکی مشهد، گروه اعصاب اطفال، بیمارستان قائم (عج)، ashrafzadehf@mums.ac.ir

^۵ دانشیار، دانشگاه علوم پزشکی مشهد، بیمارستان دکتر شیخ، hebranip@mums.ac.ir

(تاریخ دریافت مقاله ۱۳۹۴/۳/۱۴، تاریخ پذیرش مقاله ۱۳۹۴/۷/۹)

چکیده: در اغلب فرایندهای روانی-زیستی، درجه بالایی از رفتارهای غیر خطی و دینامیکهای پیچیده، ثبت و گزارش شده اند که برخاسته از تعاملات میان تعداد بسیار زیادی از زیر سیستمها و فرایندها - با رفتارهای بعضاً ناشناخته - هستند. قطع پوانکاره یکی از ابزارهای مهم است که در تحلیل این دسته از سیستمها و حتی کنترل سیستمهای غیر خطی از جمله سیستمهای آشوب گونه و دارای عدم قطعیت استفاده می شود. با وجود اینکه مدت زیادی از مطرح شدن قطع پوانکاره میگذرد، اما هنوز مراحل مختلف آن به صورت هنری و هیوریتیک انجام می شود. هنوز، امکان آموزش ماشین بر اساس قطع پوانکاره وجود ندارد و علت نیز ساخت یافته نبودن روش اعمال آن و مشکلاتی از قبیل نامعین بودن ساختار و پارامترهای مدلی است که بتوان به طور عام به این روش نسبت داد. در این مقاله ابتدا مراحل مدلسازی با استفاده از قطع پوانکاره را تبیین شده، سپس با تکیه بر رخدادهای به وقوع پیوسته مفهوم اطلاعات و نسبی-نگری، با استفاده از قطع پوانکاره و نگرش اطلاعاتی به تشخیص تغییرات الگوی مغزی در کودکان مبتلا به اختلال اُتسم خواهم پرداخت. اختلالات طیف اُتسم (ASD)^۱ شرایطی از تکامل عصبی است که با نقص در ارتباطات و تعاملات اجتماعی و وجود الگوهای تکراری در رفتار، علائق و فعالیتها شناخته می شود که به اختصار اُتسم نامیده می شود و علت توجه به اختلال اُتسم نیز اعتقاد ما بر اطلاعاتی بودن منشاء این اختلال است به عبارت دیگر مشکل اصلی در اختلال طیف اُتسم ناشی از شبکه های ارتباطی موجود در مغز است که با گذشت زمان می تواند منجر به مشکلات ثانویه گردد. در این تحقیق نوع جدیدی از بازنمایی به نام بازنمایی مکمل توسعه یافته معرفی شده است. خصوصیت اصلی این بازنمایی توجه ویژه به فاز سیگنال به عنوان اطلاعات نهفته در سیگنال و بی تاثیر بودن انرژی در آن است. کلیه مفاهیم جدید معرفی شده بر روی سیگنال الکتروانسفالوگرافی کودکان مبتلا به اختلال اُتسم پیاده سازی شده است. ثبت سیگنال الکتروانسفالوگرافی در کودکان مبتلا به اختلال اُتسم همواره یکی از مشکلات اصلی متخصصان است و پیاده سازیهای مقاله بر روی ۴۵ مورد شامل ۳۰ نفر کودک اُتسمی و ۱۵ نفر کودک سالم در رنج سنی ۳ تا ۱۰ سال، در سه وضعیت حین خواب، ثبت چشم باز و ثبت جدیدی مبتنی بر دینامیک مغز انجام شده است که ثبت نوع سوم بر اساس پرتکل پیشنهادی توسط نویسندگان است و مشکلات ثبتهای دیگر برای این کودکان را ندارد. نتایج بدست آمده حاکی از حضور الگوی دینامیکی مشترک در اختلال اُتسم است که کاملاً متفاوت با دینامیک سالم میباشد. این تغییر الگو در قالب ۱۶ ویژگی کیفی جدید، معرفی شده است که این ویژگیها به انرژی سیگنال الکتروانسفالوگرافی وابسته نمی باشند بلکه به چیدمان نقاط قطع بر مقطع پوانکاره (که آن را *رخداد مینامیم*) بستگی دارند.

کلمات کلیدی: اطلاعات، سیرتیک، قطع پوانکاره، الکتروانسفالوگراف، اختلال طیف اُتسم، بازنمایی فضای فاز، نمودار مکمل گسترش یافته.

¹ Autism Spectrum Disorder

Extraction of Dynamic Variations in Electroencephalogram Signal Pattern of Autistic Children using Poincare Section

Ghasem Sadeghi Bajestani, Ali Sheikhani, Mohammadreza Hashemi Golpayegani, Farah Ashrafzadeh, Parya Hebrani

Abstract: In most psycho-biological processes, great deal of nonlinear and dynamically complex behaviors are recorded which arise from interactions among numerous subsystems and processes –mostly with unknown behaviors-. Poincare section is one of the tools used not only for analysis of these systems, but also to control nonlinear systems; chaotic and uncertain. Albeit it has been long ago before introduction of Poincare section, but yet its stages are carried out artistically and heuristically.

Yet, it is not possible to “machine learn” based on Poincare section due to unstructured implementation method and problems like uncertain structures and modeling parameters. In this paper, first, modeling -using Poincare section- is explained, then based on the occurred events and the concepts “information” and “relativism”, variations in brain pattern of Autistic children will be diagnosed using Poincare section and informative approach.

Autism spectrum disorder is a revolutionary stage of brain diagnosed by deficiency in communications and social interactions as well as repetitive patterns in behavior, favorites and activities, called Autism in short. Autism in our point of view has an informative essence, in other words the main problem in Autism spectrum disorder origins from communication networks in brain that can lead to secondary problems over time. In this paper, a new representations called “developed complementary representation” is introduced.

The most important characteristic of this representation is its special attention to signal phase as latent information in signal and effortlessness of energy. All the newly introduced concepts are implemented on electroencephalogram signal of Autistic children which has always been cumbersome to be recorded. This paper has focused on 45 case including 30 Autistic children and 15 healthy ranging from 3-10 years in three different stages; asleep, opened eyes and a state-of-art recording procedure based on brain dynamics and the proposed protocol presented by authors which is destitute of well-known problems of other recording procedures. Results show the presence of a common dynamic pattern in Autistic cases which is entirely different from healthy cases. This pattern variation is introduced in 16 different characteristics which are not related to electroencephalogram’s energy but to arrangement of section point on Poincare section (called “event”).

Keywords: Information, Cybernetic, Poincare Section, Electroencephalogram, Autism Spectrum Disorder, Phase Space Reconstruction, Extended Complementary Plot

۱- مقدمه

اختلالات طیف درخودماندگی ذهنی (ASD)^۱ شرایطی از تکامل عصبی است که با نقص در ارتباطات و تعاملات اجتماعی و وجود الگوهای تکراری در رفتار، علائق و فعالیت‌ها شناخته می‌شود که به اختصار اُتسم نامیده می‌شود. این تظاهرات بالینی اغلب در دوران کودکی ظاهر می‌شود، مطالعات اپیدمیولوژیک اخیر، شیوع اختلالات طیف درخودماندگی ذهنی را ۱ نفر در هر ۸۸ کودک برآورد می‌کند. [۱] با وجود تحقیقات گسترده، هنوز مناقشات بسیاری درباره مشخصات ریخت شناسانه^۲، عملکردی و عصب‌شناسانه مغز مبتلایان به درخودماندگی ذهنی وجود دارد [۲]، و اساس عصبی تغییرات رفتاری در ASD تا حد زیادی نامشخص باقی مانده است. یکی از چالش‌های بزرگ در این اختلال سن طلایی تشخیص آن یعنی زیر ۲ سالگی است [۳] زیرا قبل از اینکه اختلال به بخش‌های دیگر مغز آسیب برساند فرایند درمان آغاز شود که از روش‌های کلینیکی این مهم بسیار مشکل است زیرا علائم بالینی کودک در این سن بسیار خفیف هستند و تشخیص زود هنگام چالش این اختلال می‌باشد. [۴-۶] تکنیک‌های نروفیزیولوژیکال و تصویربرداری عصبی متعددی به منظور درک همبستگی میان عملکرد مغز و رفتار مبتلایان به درخودماندگی ذهنی مورد استفاده قرار می‌گیرد. در میان آنها، در حال حاضر الکتروانسفالوگرافی کمی (QEEG)^۳ مورد توجه ویژه است و حتی علیرغم نتایج متناقض، تحقیقات زیادی در این زمینه انجام شده و در دست انجام است. [۷-۱۲]

بررسی مقالات نشان دهنده آن است که روش‌های مختلفی برای تشخیص اُتسم مبتنی بر EEG مورد استفاده قرار گرفته است، روش‌هایی چون: چگالی طیف توان^۴ شباهت^۵ و یا عدم تقارن^۶ [۱۳]، عدم تقارن در طیف توان [۱۴]، معیار شباهت در یک باند بخصوص (مثلاً باند بتا) [۱۵] معیار شباهت در چگالی طیف توان [۱۶] چگالی طیف توان و نرخ مغز^۷ [۱۷] چگالی طیف توان معیار شباهت و ارتباط آن با AQ^۸ [۱۸] چگالی طیف توان در STFT^۹ و STFT-BW^{۱۰} [۱۹] تحلیل همزمانی فازی در باندهای فرکانسی [۲۰] تحلیل چند بعدی آنتروپی [۲۱] بعد فرکانس [۲۲] و ... وجه مشترک همه روش‌های ذکر شده توجه آنها به انرژی و نگرش مبتنی بر جزء نگری است به عبارت دیگر در مدل‌سازیهای معمول، مقادیر دامنه و یا تغییرات آن در حوزه زمان، حوزه فرکانس و یا هر دو حوزه بطور همزمان (زمان - فرکانس) جهت شناسایی و مدل کردن سیستمها به کار گرفته می‌شود و از آنجایی که دامنه و تغییرات آن

بیانگر تغییر در انرژی سیستم است، چنین مدل‌هایی را می‌توان مدل‌های انرژی نامید. استفاده از مدل‌های مبتنی بر انرژی در خصوص پدیده‌هایی با منشأ اطلاعاتی منجر به نتایج متناقضی می‌گردد و اینکه هنوز علیرغم تلاش‌های بسیار انجام شده در این حوزه این روشها - حتی در معتبرترین مراکز دنیا - به عنوان روش تشخیص اُتسم شناخته نمی‌شوند. اما نکته متفاوت در این تحقیق مدل‌سازی مبتنی اطلاعات و نه ماده و انرژی است، که در ادامه به بررسی آن خواهیم پرداخت. در بررسی و اصلاح رفتار یک سیستم دو رویکرد کلی وجود دارد یکی رویکرد جزء نگر و مبتنی بر قطعی گرایی و دیگری رویکرد کل نگر و مبتنی بر عدم قطعیت، رویکرد دوم را رویکرد مبتنی بر نگرش سبیرنتیک نیز می‌نامند. تعاریف مختلفی برای سبیرنتیک در متون مختلف آمده است که در ادامه به برخی از آنها خواهیم پرداخت.

- سبیرنتیک به رشته‌های علمی عام (برخلاف علوم بسیار خاص) و تعمیم دهنده تعلق دارد و بیانگر نظریه عمومی کنترل است و میتواند برای هر سیستمی اعم از ارگانیستی، مکانیستی، جامعه و ... بکار رود. [۲۳، ۲۴]
- سبیرنتیک علمی است که از یک سو سیستم‌های نسبتاً باز را از دیدگاه تبادل متقابل اطلاعات میان آنها و محیطشان مورد بررسی قرار می‌دهد و از سوی دیگر به بررسی ساختار این سیستم‌ها از دیدگاه تبادل متقابل اطلاعات میان عناصر مختلف اشان می‌پردازد. [۲۵]

- سبیرنتیک به سه بخش کلی نظری، عملی (تجربی و مدل‌سازی) و مهندسی تقسیم می‌شود، و از آینده‌ی ریاضیات، منطق، زیست‌شناسی، کنترل خودکار و نظریه اطلاعات به وجود آمده است. [۲۶]

- سبیرنتیک به طور کلی عبارت است از تدوین یک برخورد عام با مساله بررسی و پژوهش فرایندهای آینده کنترل در انواع گوناگون سیستم‌ها. [۲۷، ۲۸]

در واقع روش مدل‌سازی استفاده شده در این تحقیق روشی رفتاری و مدل بدست آمده در این تحقیق مدلی اطلاعاتی است. لازم به توضیح است هر چیزی که منجر به تغییر دانش ما در شناخت یک پدیده گردد به گونه‌ای اطلاعات ما را نسبت به آن پدیده افزایش داده است. اما اطلاعاتی که ما از آن سخن می‌گوییم همان چیزی است که با ظهور سبیرنتیک، جایگاه ویژه‌ای یافت و به عنوان یک ماهیت مستقل مورد مطالعه قرار گرفت. اگر بپذیریم که اطلاعات در تعامل با ماده و انرژی است. [۲۹] تعامل ماده و اطلاعات منجر به تولید کالا و تعامل اطلاعات و انرژی مفهوم کار را بوجود می‌آورد. انرژی ماهیتی مستقل و مجزا دارد، لذا تغییر در اطلاعات لزوماً با تغییر در ماده و انرژی همراه نخواهد بود و فقط از طریق بررسی تغییرات ماده و انرژی، اطلاعات شناخته نمی‌شود. همانطور که وینر می‌گوید: "اطلاعات نه ماده است نه انرژی، اطلاعات اطلاعات است" و بولدینگ می‌گوید: "اطلاعات سومین بعد اساسی است که از جرم و انرژی فراتر است" و یا اینکه: "اطلاعات تغییری است که منجر به تغییر می‌شود" [۳۰] اطلاعات مثل نرم افزار کامپیوتر است که دیده نمی‌شود ولی از روی آثارش می‌توان به وجود آن پی برد.

¹ Autism Spectrum Disorder
² Morphological
³ Quantitative Electro Encephalography
⁴ Power Spectral Density (PSD)
⁵ Coherence
⁶ Asymmetry
⁷ Brain rate
⁸ Autism Spectrum Quotient
⁹ Short Time Fourier Transform
¹⁰ Short Time Fourier Transform Band width

های یک مدل در پیش‌بینی و شناسایی رفتار سیستم به طور خاص به ارائه‌ی تخمینی مناسب از پارامترهای مدل وابسته است. در این مقاله ابتدا به بیان مراحل مدلسازی اطلاعاتی با استفاده از قطع پوانکاره می‌پردازیم، آن‌گاه با تکیه بر رخداد‌های به وقوع پیوسته و مفهوم اطلاعات و نسی‌نگری، با استفاده از قطع پوانکاره و نگرش اطلاعاتی به تشخیص تغییر دینامیک در اختلال اُتیم خواهیم پرداخت. در مراحل مدلسازی ضمن معرفی هر مرحله به پیاده‌سازی آن مرحله بر سیگنال EEG کودکان اُتیمی خواهیم پرداخت و در پایان نیز نتیجه این بررسیها در تعیین بعنوان الکتروانسفالوگراف کیفی^۶ و نه کمی (QEEG) معرفی خواهد شد.

۲- روش کار

اتصالات مکانی و تعاملات عملکردی تعداد بسیاری از نورون‌ها و سیناپس‌ها، حلقه‌های فیدبک مثبت و منفی بیشماری را در مغز ایجاد نموده است. این شبکه‌ی پیچیده که به مثابه یک سیستم باز در تعامل لحظه به لحظه با محیط است، الگوهای آشوبگونه گذرای را تولید میکند که در ثبت EEG، fMRI و همچنین سریهای زمانی ثبت شده از فعالیت نورون و یا جمعیت‌های نورونی قابل تشخیص است. اختلال اُتیم از دیدگاه ما یک مشکل در شبکه ارتباطاتی و اطلاعاتی مغز است که این مشکل به مرور زمان به مشکلی سخت افزاری و فیزیولوژیک تبدیل می‌گردد و علت نتایج متناقض گزارش شده در تحقیقات مختلف [۷] آن است که این مشکل ارتباطاتی و اطلاعاتی، در مغز در افراد مختلف به شکلهای مختلف و بعضاً متناقض نمایان می‌گردد. در برخی بخش خاکستری مغز کوچک می‌گردد و در برخی بزرگتر است، در برخی منجر به اختلال در صحبت کردن می‌گردد و در برخی موجب اختلال در راه رفتن، هم افراد با IQ بالا مبتلا هستند و هم افراد با IQ پایین و علت "طیف" نامیده شدن نیز همین است. در واقع با نگاه کل‌نگر و سیرنیتیکی به این اختلال درمی‌یابیم که این اختلال در واقع یک اختلال در تعاملات بخشهای مختلف مغز است و به تعبیر دیگر اختلال در جریان اطلاعات در مغز می‌باشد، مثلاً نیمکره چپ مغز به تنهایی خوب عمل می‌کند، اما هنگامی که در تعامل با نیمکره راست قرار می‌گیرد دچار اختلال در عملکرد می‌شود و به همین دلیل در کارهای ترکیبی و اعمالی که به تعامل با محیط بیرون و تعامل بین اعضا نیاز دارند، این مبتلایان دچار اختلال هستند. برخی اختلال در تکلم دارند، برخی اختلال در راه رفتن دارند، برخی از تماس چشمی پرهیز شدید می‌کنند و ... فلذا راهبرد بایستی اطلاعاتی و سیرنیتیکی باشد تا بتوانیم علاوه بر تشخیص تغییر دینامیک در آینده‌ای نزدیک حتی به تشخیص زود هنگام این اختلال (بصورت سیگنالی و پاراکلینیکی) رسیده قبل از تظاهرات بالینی اقدام به توانمندسازی کودک کرد. ابزار اصلی در استخراج اطلاعات از سیگنال در این تحقیق قطع پوانکاره است و به طور کلی اعمال قطع

مدل اطلاعاتی این تحقیق مبتنی بر قطع پوانکاره است که در ادامه به توضیح قطع پوانکاره خواهیم پرداخت. در فضای m بعدی نقاط تقاطع متوالی P_0, \dots از ترازکتوری با یک اُبر صفحه $m-1$ بعدی - که به عنوان مقطع پوانکاره در نظر گرفته شده است - قطع پوانکاره نامیده می‌شود. نگاشت پوانکاره^۱ نمایشی $m-1$ بعدی و گسسته از دینامیک و دارای خصوصیات توپولوژیکی پیوسته سیستم است. [۳۱-۳۳] که به نامهای پوانکاره، ترسیم پوانکاره^۲ و ترسیم لورنز^۳ نیز شناخته می‌شود. [۳۴-۴۱] اگر بتوان دینامیک را در حد یک قانون معین^۴ (در مقابل تصادفی) ساده کرد، آنگاه هر نقطه تقاطع بر روی مقطع پوانکاره را می‌توان از روی نقاط قبلی با به کارگیری تابعی مانند F که نگاشت بازگشتی^۵ نامیده می‌شود با رابطه $P_n = F(P_{n-1})$ تولید نمود. [۴۲] در سالهای اخیر، استفاده از روش‌های غیرخطی در مدلسازی و پردازش سیستم‌های زیستی رشد چشم‌گیری داشته است. در تعدادی از تحقیقات، شاخص‌هایی همچون بعد همبستگی، بعد فرکتال و نمای لیابانف به منظور پردازش سیگنال‌های زیستی استفاده شده است. [۴۳-۴۵]. اما بیشترین سهم متعلق به نگاشت‌های بازگشتی است [۴۶-۴۸] توجه شود بین نگاشت و مدل‌های AR تفاوتی بنیادینی وجود دارد که در جدول ابرخی تفاوت‌های معنایی بین مدل AR و نگاشت آمده است.

جدول ابرخی تفاوت‌های معنایی بین مدل AR و نگاشت

مدلهای مبتنی بر نگاشت	مدلهای AR
علت و معلول حلقوی تعریف میشوند	علت معلول را زنجیره ای میدانند
از رفتار پدیده استخراج شده اند (مثل نگاشت لاجستیک که مدل جمعیت است)	از دل معادلات دیفرانسیل استخراج شده اند (مثل الگوریتم حل رانگاکوتا)
فرض بر تصادفی بودن فرایند است که در روشهای تخمین پارامتر مشهود است.	فرض بر تصادفی بودن فرایند است که قطعیت است.
نمودار بایفورکیشن دارند زیرا با مدلسازی کیفیت سر و کار دارند	نمودار بایفورکیشن ندارند
X_1 و X_2 هر یک حادثه هستند (در لاجستیک جمعیت سال اول و سال دوم)	X_1 و X_2 دو نقطه هستند و هیچ چیزی بین آنها نیست.
خطی سازی انجام نشده است	خطی سازی انجام شده

البته در کاربرد نگاشت‌های بازگشتی به عنوان مدل یک سیستم زیستی چالش‌هایی از قبیل چگونگی انتخاب ساختار نگاشت و تخمین پارامترهای نگاشت وجود دارد که به نظر نمی‌رسد حتی در آینده‌ای دور راه حل مناسبی برای غلبه بر آنها یافت شود. به همین دلیل در بسیاری از تحقیقات یاد شده، به ارائه‌ی تناظر کلی بین رفتارهای سیستم واقعی و مدل بسنده شده است. [۴۹، ۵۰] از دیدگاه مهندسی علاوه بر ساختار مدل، تخمین پارامترها هم از اهمیت ویژه‌ای برخوردار است. در واقع قابلیت-

¹ Poincare Map

² Poincare Plot

³ Lorenz Plot

⁴ Deterministic

⁵ Recurrent Map

⁶ Qualitative EEG (QuEEG)

سیگنال زیستی مانند EEG، ECG، PPG و... اشاره کرد. راه حل‌های مختلفی به منظور بازنمایی با هدف مدلسازی سیستم با استفاده از سیگنال وجود دارد رایج‌ترین آنها عبارتند از: بازسازی فضای فاز توسعه‌یافته، نمایش صفحه‌ی فاز بر اساس تفاضلات یک متغیر پایه و نسبی‌نگری، که به توصیف هریک از آنها خواهیم پرداخت.

۱-۲-۱ بازسازی فضای فاز توسعه‌یافته: طبق نظریه‌ی تیکنز اگر سری زمانی مربوط به یکی از خروجی‌های دستگاه معادلات دیفرانسیل در اختیار باشد، می‌توان با استفاده از آن فضای حالتی با بعد بیش از دو برابر فضای حالت اصلی و خواص پایه‌ی یکسان بازسازی کرد. [۵۲] این خواص پایه شامل بعد، طیف لیاپانف و آنتروپی می‌باشد. [۵۳] ایده‌ی اصلی در بازسازی فضای فاز و مطالعه‌ی دینامیک یک سیستم این است که نمونه‌ی فعلی در سری زمانی از روی نمونه‌ی قبلی بدست می‌آید، همچنین سری زمانی از یک معادله‌ی دیفرانسیل یا یک نگاهت بازگشتی تبعیت می‌کند [۵۴]. درحالی که استفاده از مدل‌ها و روش‌های پردازشی تصادفی به دلیل غیرعقلی بودن سیستم‌های زیستی رواج بسیاری یافته‌است، استفاده از قضیه‌ی تیکنز در بازسازی فضای فاز مستلزم فرض معین ۲ و تغییر ناپذیر دانستن ۳ سیستم‌های زیستی است. [۵۳] به منظور بازسازی فضای فاز اطلاع از بُعد فضای اصلی و مقدار تأخیر ضروری است، لذا باید تخمین زده شوند. نکته‌ی قابل ملاحظه آن است که برای تخمین مقدار تأخیر و بُعد بازسازی بیش از یک روش وجود دارد، به عنوان مثال مقدار تأخیر را هم از طریق خودهمبستگی و هم اطلاعات متقابل تخمین [۵۵] می‌زنند. برای تخمین بعد هم می‌توان روش هایوچی، نزدیک‌ترین همسایه‌ی اشتباه را نام برد. نکته‌ی قابل تأمل این که خود همبستگی یا اطلاعات متقابل در حوزه‌ی سیگنال‌های تصادفی تعریف می‌شوند و کاربرد آنها در تخمین از روی سیگنال‌های دینامیک که متغیرها در هر لحظه از روی مقادیر قبلی با یک فرمول معین بدست می‌آیند قابل تأمل است. [۵۶، ۵۷] این در حالی است که بازسازی فضای فاز مستلزم فرض-هایی است که صحت آن‌ها هنوز اثبات نشده‌است. علاوه بر این فضای فاز بازسازی شده به زمان تأخیر و بعد بازسازی حساس است. در حالی که مقادیر تخمین زده شده به روش‌های مختلف از اختلاف قابل توجهی برخوردار هستند. همچنین بیشتر اوقات بعد تخمین زده شده بیش تر از ۳ است و به دلایل عملی سیگنال در ۲ یا ۳ بعد نمایش داده می‌شود. [۵۸، ۵۹] در حقیقت بعد بازسازی تخمین زده شده، بدون استفاده رها می‌شود. [۶۰] نکته‌ی قابل تأمل دیگر این که در فضای بازسازی شده محدوده‌ی تمام متغیرها همان محدوده‌ی متغیر مورد استفاده به منظور بازسازی است. در [۶۱] نمایشی از EEG در دو بعد و با تأخیرهای بازسازی مختلف نمایش داده شده‌است. به دلایل گفته شده اگرچه بیشتر تحقیقات

پوانکاره با هدف مدلسازی سیگنالی (و نه کنترل سیستمی) در پنج مرحله انجام شده است که عبارتند از: بازنمایی در فضای مناسب، انتخاب مقطع مناسب، اعمال قطع، انتقال به فضای پوانکاره و استخراج ویژگی. به دلیل تنوع موجود، گاهی روش به کار گرفته شده، در کاربردهای مختلف، فاقد یکی یا بعضی از این مراحل است، که در توضیح هر مرحله به آنها اشاره خواهد شد. سه روش کلی برای اعمال قطع پوانکاره وجود دارد که این روشها عبارتند از: ۱- نمونه برداری زمانی، ۲- نمونه برداری مرتبط با رویدادی خاص و ۳- روش هندسی. نمونه برداری زمانی که قطع پوانکاره‌ی استروبوکوپی هم نامیده می‌شود، [۵۱] بیشتر در مطالعه‌ی رفتار سیستم‌های غیرخودتحریک با یک ورودی متناوب بکار می‌رود. استروبوکوپی در حالی به عنوان منشأ ایده‌ی پوانکاره شناخته می‌شود، که نقطه‌ی قوت قطع پوانکاره برخورد هندسی با تراژکتوری‌ها در عین بی‌توجهی به زمان نمونه برداری است. روش دوم - نمونه برداری مرتبط با رویدادی خاص - بیشتر به آشکارسازی پیک‌ها می‌پردازد، نمونه‌ی متداول آن فاصله‌ی زمانی بین دو ضربان متوالی قلب است.^۱ روش سوم - قطع هندسی - یک روش کلی است و اختصاص به کاربرد خاصی ندارد. روش استفاده شده در این تحقیق روش قطع پوانکاره هندسی است که در ادامه به بررسی آن خواهیم پرداخت. لایه‌های قطع پوانکاره هندسی عبارتند از: بازنمایی در فضای مناسب، انتخاب مقطع مناسب، انتقال به فضای پوانکاره و استخراج ویژگی.

در لایه اول تبدیل به فضای هندسی صورت می‌گیرد، در این لایه رفتار زمانی به هندسه تبدیل میگردد و استراتژی بر اساس هندسه تدوین میگردد، در لایه دوم با توجه به لایه اول و هندسه موجود مقطع پوانکاره انتخاب میگردد و در لایه سوم تبدیل به فضای پوانکاره و استخراج ویژگی انجام میگردد.

۱-۲ لایه اول بازنمایی در فضای مناسب

اولین لایه که مهمترین لایه نیز به شمار می‌آید بازنمایی در فضایی مناسب نامیده شده است. در این لایه استراتژی حل مسأله بر هندسه نقاط (چینش نقاط) نهاده میگردد. نقاط حاصل از قطع، ممکن است یک منحنی (در حالت معمول خط راست)، یک صفحه، یک فضای سه بعدی یا ... باشد. اعمال قطع پوانکاره حداقل منجر به کاهش یک بعدی فضا می‌شود. (به طور دقیق می‌توان گفت این کاهش بعد، با اختلاف بعد مقطع و تراژکتوری‌ها برابر خواهد بود) بنابراین، لازم است تراژکتوری‌ها در فضایی مناسب - با بعد بیشتر از مقطع - بازنمایی شوند.

در مسائل مدلسازی سیگنالی فقط امکان ثبت سیگنال به عنوان خروجی سیستم وجود دارد و از قانون تعاملات و متغیرهای مستقل و وابسته سیستم و بطور خلاصه فرمول سیستم اطلاع نداریم. در این گروه از مسائل، تنها سری زمانی ثبت می‌شود. به عنوان مثال می‌توان به ثبت چند کاناله‌ی یک

² Deterministic

³ Time Invariant

¹ R-R interval (Beat to beat interval)

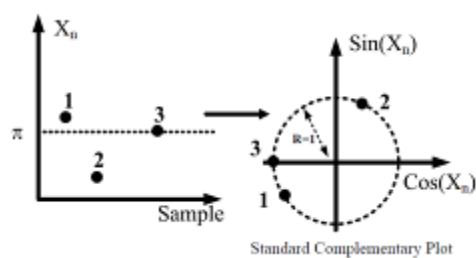
روش نمایش گونه‌ای از نرمالسازی سیگنال است که در آن اثر دامنه حذف شده است و فقط فاز مورد توجه ویژه قرار گرفته است. و با توجه به مثلث ماده، انرژی و اطلاعات با حذف انرژی از بررسی سیگنال بررسیها به بعد سوم یعنی اطلاعات میرود. استفاده از نمودارهای مکمل در بازنمایی به منظور اعمال قطع پوانکاره فاقد پیشینه است و برای اولین بار در این تحقیق مورد استفاده قرار می‌گیرد. این بازنمایی، یک تبدیل نمایی مختلط از سیگنال است و به این منظور یک نگاشت نمایی از حوزه اعداد حقیقی به اعداد مختلط تعریف می‌شود، آنگاه برای نمایش این اعداد از محورهای مختصات دکارتی استفاده می‌کنیم، برد چنین نگاشتی دایره‌ای به شعاع واحد خواهد بود.

$$x(t) = x_1 x_2 x_3 \dots x_n$$

$$x_k \in x(t) \rightarrow Z_k = \cos(x_k) + i * \sin(x_k)$$

$$k = 1, \dots, n \rightarrow |Z_k| < 1 \quad (1)$$

قسمت موهومی عدد مختلط متناظر با هر نمونه از سری زمانی بر روی محور عمودی و بخش حقیقی آن را بر روی محور افقی قرار خواهد داشت. همه‌ی اعداد مختلط حاصل، از لحاظ دامنه مقداری یکسان دارند و این فاز نقاط است که دارای اندازه‌هایی متفاوت است. بدلیل متناوب بودن نگاشت، نقاطی که دارای فاز یکسان هستند لزوماً در سری زمانی از دامنه‌ی یکسانی برخوردار نیستند، لذا این تبدیل یک به یک نیست، لذا برگشت‌پذیر نمی‌باشد. این دسته نمودارها را نمودار مکمل استاندارد^۳ می‌نامیم در واقع یک تبدیل سینوسی از سیگنال مطابق شکل ۱ است.



شکل ۱ بازنمایی مکمل استاندارد

در شکل ۲ نمودار مکمل استاندارد شخص سالم و اُتسمی ترسیم شده است و الگوهای شبیه ماندالا (وجود حلقه‌های متحد‌المرکز) در سیگنال کودک دچار اختلال اُتسمی به وضوح مشاهده می‌شود، البته همانطور که در [۶۳] گفته شده است این شرط برای تشخیص اختلال در یک سیگنال حیاتی کافی نیست.

بازسازی فضای فاز را به عنوان پایه‌ی تئوریک روش حل مسأله بیان می‌کنند، در عمل از این شیوه پیروی نمی‌کنند.

۲-۱-۲ نمایش صفحه‌ی فاز بر اساس تفاضلات یک متغیر پایه در این حالت فرض می‌شود که فضای فاز از یک متغیر پایه و مشتقات متوالی آن شکل می‌گیرد. بازنمایی به این روش توصیف‌گر صفحه‌ی فاز سیستم است. اگرچه ممکن است چنین نمایشی فضاهایی با بعد بیش از ۲ را هم در برگیرد. اختلاف اساسی چنین روشی با روش تیکنر در این است که بجای تولید متغیرها از طریق شیف‌ت زمانی متغیر ثبت شده، با گرفتن مشتق (دیفرنس) از سری زمانی در دسترس به متغیرهای جدید می‌رسند. در این بازنمایی مقادیر سری زمانی ثبت شده را بر روی محور افقی و به طور متناظر اختلاف هر دو نمونه‌ی متوالی را بر روی محور عمودی نشان می‌دهند. در واقع این روش از تغییرات در هر نقطه را به نمایش می‌گذارد. یکی از نمونه‌های متداول استفاده از این روش مطالعه‌ی مرکز فشار در کف پا به هنگام ایستادن (COP) و تغییرات آن در مطالعه‌ی سیستم عصبی-عضلانی می‌باشد. [۶۲]

۲-۱-۳ نسبی‌نگری

این روش با نگاهی نسبی به سیستم همراه است. در این روش بسته به فرکانس نمونه‌برداری می‌توان هر نمونه را براساس نمونه‌ی قبلی نمایش داد. آنچه در بازسازی فضای فاز براساس تئوری تیکنر اتفاق می‌افتد، نیز بیشتر اوقات به چنین نمایشی می‌انجامد. با وجود این دو تفاوت عمده‌ی این روش با بازسازی فضای فاز می‌توان در عدم نیاز به برآورد تأخیر و بعد سیستم و نیز عدم ادعای این شیوه در رسیدن به متغیرهایی جدید از سیستم و بازنمایی آنهاست. در بیشتر منابع به چنین نمودارهایی نمودار لورنر یا نمودار پوانکاره می‌گویند، اما تفاوت اساسی این روش با نمودار پوانکاره این است که نمودار بازنمایی شده به این طریق از قطع پوانکاره بدست نیامده است. [۳۶، ۴۱، ۶۰]

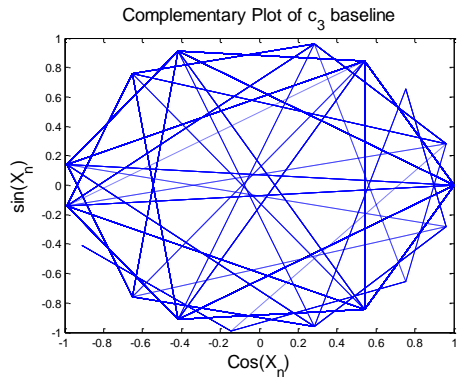
۲-۱-۴ نمودارهای مکمل^۱:

این روش امکان بازنمایی سری زمانی در یک صفحه‌ی مختلط را فراهم می‌کنند و شامل مجموعه‌ای از آماده‌سازیها می‌گردد. نمودار مکمل یک سری زمانی با گرفتن سینوس و کسینوس از هر مقدار یک سری زمانی و ترسیم آن در صفحه X-Y و کشیدن وتر بین نقاط - برای نمایش انتقال- بدست می‌آید [۶۳] یکی از کاربردهای این نمودارها بررسی وجود الگوهای شبیه ماندالا^۱ در حلقه‌های متحد‌المرکز است. در واقع ترسیم سینوس و کسینوس در نمودارهای مکمل روشی برای بررسی دینامیک دو عنصر متضاد اما کامل کننده است. به عبارت دیگر روشی ساده برای تحلیل یک سری زمانی ایجاد شده از عناصر متضاد همراه^۲ است که تایید کننده فعالیت‌های متضاد اما تکمیل کننده‌ی اعصاب سمپاتیک و پاراسمپاتیک در یک فرایند نروفیزیولوژیک است. [۶۳] کاربرد دیگر این

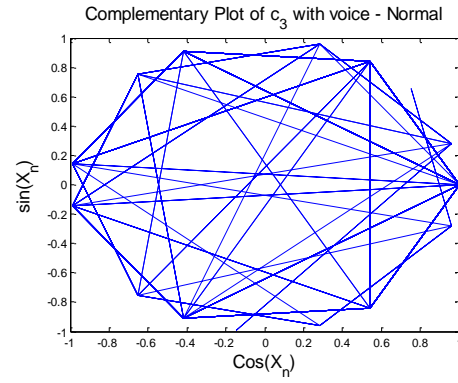
¹ Mandala Like Patterns

² Terms of Coexisting Opposites

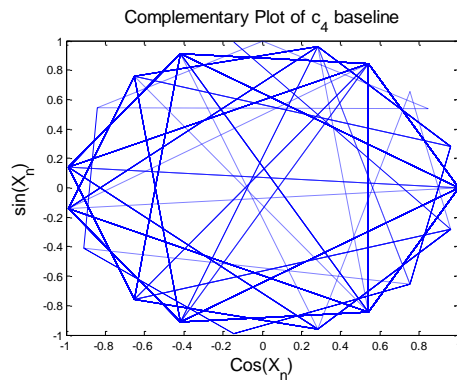
³ Standard Complementary Plot



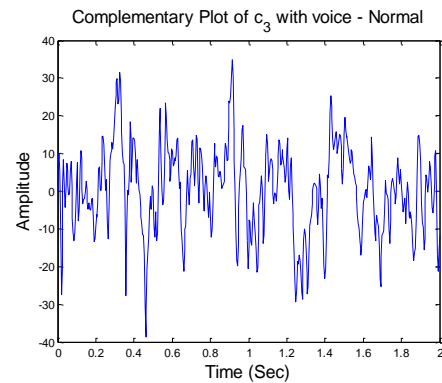
الف ۱



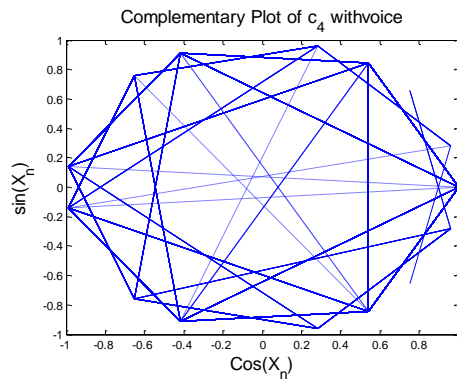
الف ۱



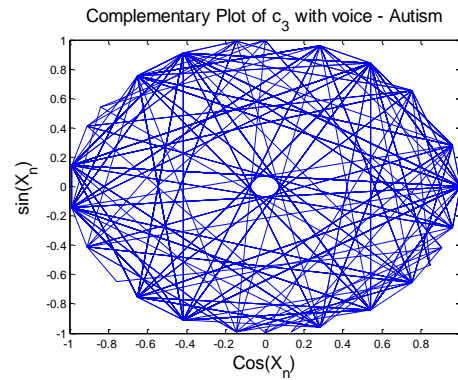
الف ۲



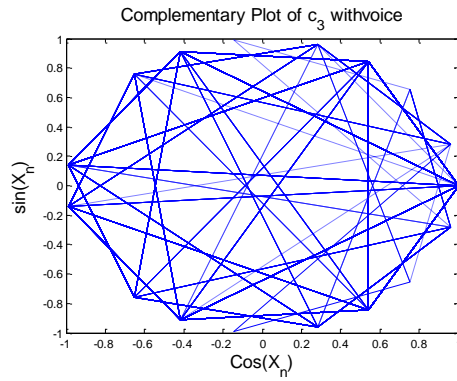
الف ۲



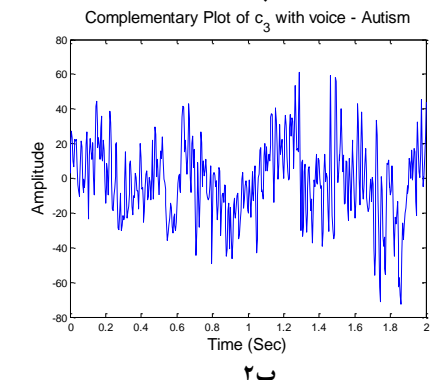
ب ۱



ب ۱



ب ۲

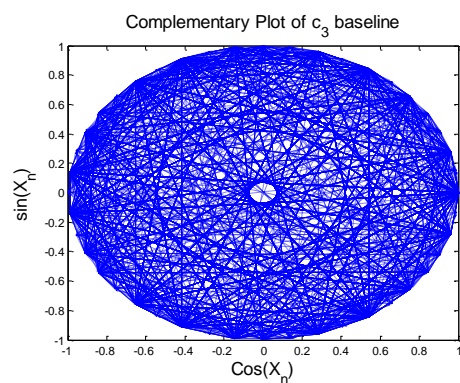


ب ۲

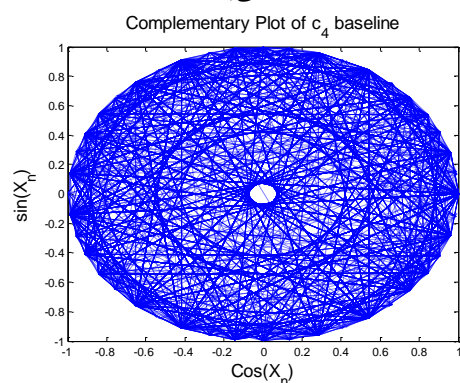
شکل ۲ بازنمایی سیگنال EEG به روش نمودار مکمل استاندارد برای سیگنالها با طول ثابت (۸ ثانیه با فرکانس ۲۵۶) و شرایط ثبت یکسان الف.

سالم ب. ASD

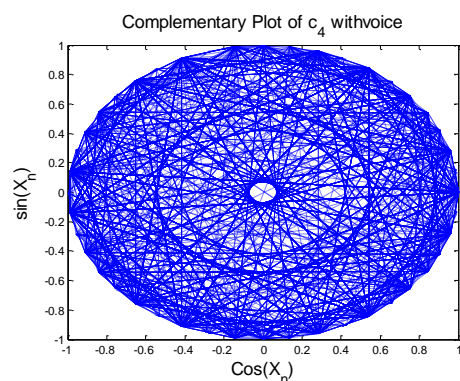
الف) سالم ب) ASD



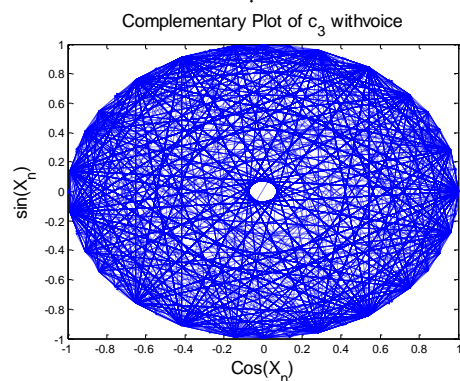
الف



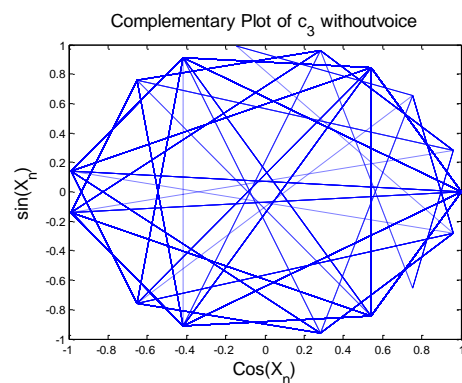
الف



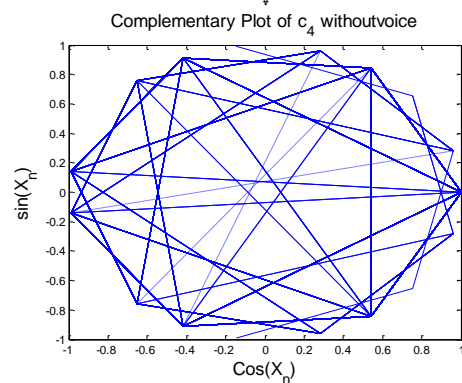
ب



ب



پ



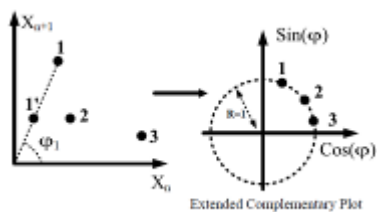
پ

شکل ۳. بازنمایی سیگنال EEG کودک سالم به روش نمودار مکمل استاندارد برای سیگنال با طول ثابت (۸ ثانیه با فرکانس ۲۵۶) و شرایط مختلف روی دو کانال C3 (نماینده نیمکره چپ که در شکلها شماره ۱ دارند) و C4 (نماینده نیمکره راست که در شکلها شماره ۲ دارند) الف. وضعیت زمینه ب. وضعیت با صدا پ. وضعیت بدون صدا

در شکل ۳ بازنمایی سیگنال EEG کودک سالم و در شکل ۴ کودک ASD به روش نمودار مکمل استاندارد برای سیگنال با طول ثابت (۸ ثانیه با فرکانس ۲۵۶) در شرایط زمینه (کودک روی صندلی نشسته بدون پخش انیمیشن) با صدا (کودک روی صندلی نشسته و در حال تماشای انیمیشن باصدا است) و بدون صدا (کودک در حال تماشای همان انیمیشن مرحله قبل و بدون صدا است) و روی دو نیمکره چپ و راست، نمایش داده شده است.

مقایسه این دو شکل در وضعیتهای یکسان و کانالهای یکسان بخوبی تفاوت مشهود بین الگوی تغییرات سالم و ASD را نشان میدهد و اینکه الگوهای ماندالاگونه در ASD در همه حالات و زمانها مشهود است اما در کودکان سالم این الگو مشاهده نمیگردد که با استفاده از قطع پوانکاره کمی خواهد گردید.

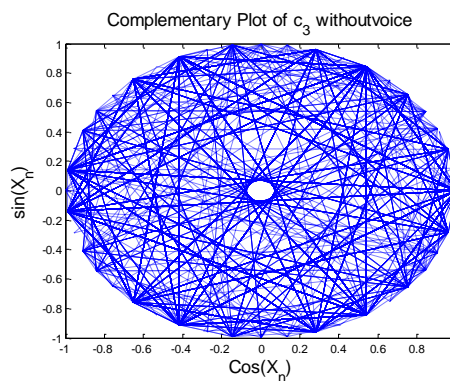
مطلق دامنه و انرژی به عنوان نقاطی یکسان بازنمایی می‌شوند. همانطور که در شکل ۵ مشاهده می‌شود در فضای مکمل توسعه یافته، اثری از دامنه وجود ندارد و نقاطی که روی یک زاویه هستند در فضای جدید برهم منطبق خواهند شد.



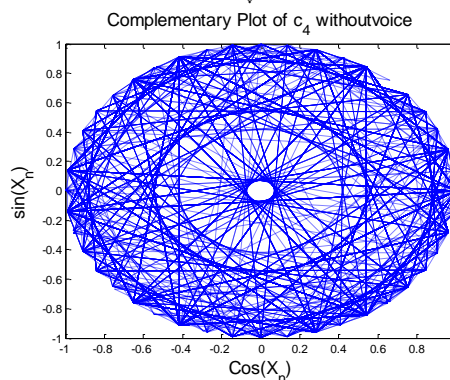
شکل ۵. طبقه اعمال نمودار مکمل توسعه یافته

به نظر می‌رسد بخش اعظم روش‌های مورد استفاده به منظور مدل‌سازی و پردازش سیگنال بر اصالت مقدار مطلق انرژی بنا شده‌اند. در نگاشت‌های بازگشتی این دامنه‌ی سری زمانی است که باید توسط دامنه‌ی - انرژی - خروجی مدل دنبال شود. در مدل‌های پارامتری و پیش‌بین با استفاده از یک تابع هزینه سعی در تخمین پارامترهای مدل به گونه‌ای دارند، که دامنه - یا همان انرژی - خروجی آنها هرچه بیشتر به دامنه‌ی سیگنال مورد مطالعه نزدیک باشد. در نمای لیاپانف این تفاوت در تغییر مقدار مطلق دامنه (انرژی) سیگنال به ازای دو شرط اولیه نزدیک به هم است که مورد نظر است. در تحلیل طیف توان این دامنه‌ی سیگنال (انرژی آن) در فرکانس‌های مختلف است که با هم مقایسه می‌شوند. استخراج متغیرهای آماری و ممان‌ها نیز با تکیه بر مقادیر انرژی صورت می‌گیرد. به نظر می‌رسد تعداد معدودی از شاخص‌ها مانند بعد همبستگی، به مقدار مطلق انرژی توجه جدی ندارند. شمارش نقاط درون دایره‌ای که شعاع آن در محدوده‌ی مقیاس بندی^۲ است در محاسبه‌ی بعد همبستگی، بر اساس مقدار مطلق انرژی صورت نمی‌گیرد و این تشابه مقدار انرژی نقاط به هنگام شمارش است معیار قرار گرفتن آنها درون دایره خواهد بود. با توضیحاتی که در این مقاله درباره‌ی قطع پوانکاره خواهیم داد، می‌توان ادعا کرد که در این شیوه‌ی مدل‌سازی توجه به انرژی - به صورت مطلق و حتی نسبی - در پایین‌ترین سطح ممکن خواهد بود.

اهمیت نپرداختن یک شیوه‌ی پردازشی به انرژی یک سیستم - به طور مطلق یا نسبی - در این است که وقتی انرژی معیار شناخت نباشد، باید شناخت را به بعد سوم سیستم‌های سه وجهی یا همان اطلاعات مرتبط دانست. از آنجایی که در سبیرنتیک اطلاعات به عنوان وجه سوم ماهیتی مجزا از انرژی و ماده و البته در ارتباط و تعامل با آنهاست، مدل‌سازی اطلاعاتی باید گونه‌ای از مدل‌سازی باشد که اطلاعات وجه غالب آن است و قطع پوانکاره به این مضمون بسیار نزدیک است. در این رابطه مؤلفین در تمامی مراحل مدل‌سازی سعی دارند تا حد ممکن نقش انرژی را کاهش دهند. در بین روش‌های بیان شده به منظور بازنمایی روش



۱ پ



۲ پ

شکل ۴. بازنمایی سیگنال EEG کودک ASD به روش نمودار مکمل استاندارد برای سیگنال با طول ثابت (۸ ثانیه با فرکانس ۲۵۶) و شرایط مختلف روی دو کانال C3 (نماینده نیمکره چپ که در شکلها شماره ۱ دارند) و C4 (نماینده نیمکره راست که در شکلها شماره ۲ دارند)
 الف. وضعیت زمینه ب. وضعیت با صدا پ. وضعیت بدون صدا

۲-۱-۵ نمودار مکمل توسعه یافته^۱

یک روش دیگر برای دستیابی به نمودارهای مکمل که اولین بار در این تحقیق معرفی شده است، ترکیبی از روشهای بازنمایی نسبی گرا و نمودار مکمل است که هدف اصلی آن توجه ویژه به فاز (اطلاعات) و حذف تأثیر دامنه (انرژی) بر مطالعات سیگنال است. روش کار بدین ترتیب است که ابتدا نسبی‌سازی گرای در بازنمایی یا هر نمونه بر اساس نمونه‌ی قبلی نمایش داده می‌شود، سپس کسینوس و سینوس زاویه‌ی شکل گرفته بین محور افقی و خطی که هر کدام از نقاط را به مبدأ مختصات متصل می‌کند در نظر گرفته می‌شوند به این ترتیب در بازنمایی نسبی گرای محور افقی و عمودی به عنوان قسمت‌های حقیقی و موهومی یک عدد مختلط در نظر گرفته می‌شوند. (شکل ۵) و نمایش این نقاط مختلط در سیستم مختصات دکارتی نیز یک نمودار مکمل را شکل خواهد داد. در این روش نقاطی که بر روی یک خط قرار دارند - یا به عبارت دیگر نسبت نمونه‌ی فعلی و قبلی در آنها مقداری ثابت است - بدون توجه به مقدار

^۲ Scaling Region

^۱ Extended Complementary Plot

نمودارهای مکمل است که در بازنمایی، مفهوم فاز را جایگزین انرژی کرده است.

۲-۲ لایه دوم انتخاب مقطع مناسب

پس از بازنمایی در فضای مناسب بایستی مقطع مناسب انتخاب و انتقال به فضای پوانکاره و استخراج ویژگی نیز پس از انجام می‌شود. این مرحله از اهمیت فراوانی برخوردار است و معیارهای متعددی به منظور انتخاب مقطع مناسب می‌توان تعیین نمود که البته به هدف از اعمال قطع پوانکاره وابسته است. چنانچه هدف تعیین نوع دینامیک سیستم - پریودیک یا آشوب گونه باشد - وقتی مقطع پوانکاره به درستی انتخاب شده است که تمام حلقه‌های تراژکتوری را قطع کند [۶۴] در واقع در این سری از مسائل هر نقطه‌ی قطع نماینده‌ی یک اوربیت از تراژکتوری ترسیم شده خواهد بود. اگر تعداد این نقاط تنها یکی باشد، رفتار را پریود ۱ می‌گویند. در این حالت نقطه‌ی کار سیستم می‌تواند همان نقطه‌ی قطع بر روی مقطع باشد (حالت خاص) یا این تراژکتوری در هر دور گردش از همان نقطه عبور خواهد کرد. با افزایش نقاط قطع پریود سیستم ۲، ۳ و... برابر خواهد شد. این تفسیر درباره‌ی رفتار یک سیستم بر اساس قطع پوانکاره زمانی صادق است که فضای بازنمایی از نوع اول، دوم و یا بازسازی فضای فاز توسعه یافته باشد، بدون تقلیل بعد بازسازی باشد. یعنی نباید برای بازسازی یک سری زمانی با بعد بازسازی ۳ از صفحه و از فضای سه بعدی وقتی بعد بازسازی بیشتر از ۳ است استفاده کرد. چرا که در این صورت نمی‌توان مطمئن بود که تراژکتوری خودش را در نقاط قطعی که تکرار می‌شوند، قطع کرده است. علاوه بر این زمان غیر صریح است و نقاط قطع تنها یک توالی زمانی دارند و درباره‌ی مدت زمانی که بین هر دو نقطه‌ی قطع متوالی طول می‌کشد با فاصله‌ی زمانی بین نقاط دیگر یکسان نیست. نمونه‌ی قابل تصور این تغییر فاصله RRI است که با وجود این که فاصله‌ی زمانی بین دو پیک متوالی R است، در هر بار تقاطع تغییر کرده و HRV را پدید می‌آورد. با استفاده از فضای فاز و نتایج قطع پوانکاره تنها می‌توان از ترتیب زمانی نقاط مطلع شد و درباره‌ی فاصله‌ی زمانی بین نقاط نمی‌توان اظهار نظر نمود. [۳۴]

۲-۳ انتقال به فضای پوانکاره و استخراج ویژگی

در این لایه با توجه به استراتژی هندسی اتخاذ شده و لایه‌های قبلی ویژگیها استخراج میگردند و توجه ویژه به کیفی بودن ویژگیها میباشد.

۳-۳ دادگان

چگونگی ثبت سیگنال EEG به علت دارا بودن اطلاعات مهم و در عین حال نویز و اغتشاشات زیاد، از اهمیت بالایی برخوردار است. نویزهایی مانند آرتیفکتهای حرکتی، مشکلات رسانایی در الکتروده گذاری، نویز برق شهر و اثرات ناشی از سایر سیگنالهای حیاتی

مانند ECG و EOG و ... عواملی هستند که اهمیت چگونگی ثبت EEG را نشان می‌دهد. علاوه بر این موارد نوع ثبت از نقطه نظر اینکه چه ویژگیهایی مورد نظر است اهمیت دارد و این امر اهمیت مکان الکترودها را نشان می‌دهد. استانداردهایی برای مکان الکتروده گذاری در ثبت EEG با هدف تعمیم الکتروده گذاری تعریف شده اند که مهمترین و عمومی ترین استاندارد موجود استاندارد ۱۰-۲۰ می باشد. در حال حاضر بیشتر ثبت های دنیا با این استاندارد انجام می شود و تجهیزات الکتروانسفالوگرام منطبق بر این استاندارد ساخته می شوند. دو نوع مونتاژ برای ثبت معمولاً استفاده میشود که عبارتند از تک قطبی و دو قطبی که در این تحقیق نیز داده‌ها منطبق با این استاندارد و به صورت تک قطبی گوش ثبت شده اند، نام گذاری الکترودها شامل قوانین زیر است:

نام هر الکتروده دارای یک حرف می‌باشد که بیانگر لوب (Lobe) قرار گرفتن آن می‌باشد و شامل:

(۱) F^۱ (فرونتال)، T^۲ (تمپورال)، C^۳ (سانترال)، P^۴ (پرینتال)، O^۵ (اکسیپیتال)، Fp^۶ (پری فرونتال).

(۲) نام هر الکتروده با شماره‌ای مشخص می‌شود که اعداد زوج لوب سمت راست و اعداد فرد لوب سمت چپ را مشخص می‌کنند.

(۳) اندیس Z^۷ نمایانگر خط صفر یا محل اتصال دو لوب سمت چپ و راست می‌باشد.

(۴) هر چه فاصله از خط صفر (خط عبور کننده از بینی تا پس سر) بیشتر باشد عدد بزرگتر اختصاص داده می‌شود.

منظور از مونتاژ نیز یکی از دشواریهای اصلی در ثبت سیگنال الکتروانسفالوگرافی کودکان ASD عدم همکاری آنها در ثبت است بطوری که در تحقیقات انجام شده به ندرت از ثبت چشم بسته و حتی چشم باز این کودکان صحبت شده است. در این تحقیق با همکاری نزدیک مرکز اُتسم نور هدایت مشهد و بیمارستان ابن سینا و مرکز جامع توانبخشی آرآن بر این دشواریها فائق آمده و حتی یک پرتکل جدید مبتنی بر اشکال رایج در دینامیک مغزی کودکان ارایه گردیده است. این تحقیق بر روی ۳۰ کودک مبتلا به اختلال اُتسم و ۱۵ کودک سالم در رنج سنی ۳ تا ۱۰ سال انجام گرفته است و دادگان مورد بررسی در این تحقیق در سه دسته قرار می‌گیرند: دسته اول دادگان ثبت شده در بیمارستان ابن سینا مشهد که حین خواب به مدت ۲ ساعت و با سیستم ۱۰-۲۰ ثبت است، دسته دوم دادگان ثبت شده در مرکز جامع توانبخشی و توانمند سازی روانی آرآن که در بیداری و با سیستم ۱۰-۲۰ به صورت چشم باز و چشم بسته هریک به مدت ۵ دقیقه، ثبت شده است و دسته

¹ Frontal
² Temporal
³ Central
⁴ Parietal
⁵ Occipital
⁶ Prefrontal
⁷ Zero

ت

شکل ۶ معرفی سه روش ثبت دادگان
 الف. مونتاژ تک قطبی گوش

ب. نمایی از محل ثبت سیگنال در پرتکل اتاق اکوستیک
 پ. نمایی از ثبت حین خواب در بیمارستان ابن سینای مشهد
 ت. نمونه فرم آمادگی شرکت در ثبت در مرکز جامع توانبخشی آرن

۴- نتایج

همانطور که در روش کار گفته شد ابزار اصلی در استخراج اطلاعات از سیگنال در این تحقیق قطع پوانکاره است و به طور کلی اعمال قطع پوانکاره با هدف مدلسازی سیگنالی (و نه کنترل سیستمی) در پنج مرحله انجام شده است که عبارتند از: بازنمایی در فضای مناسب، انتخاب مقطع مناسب، اعمال قطع، انتقال به فضای پوانکاره و استخراج ویژگی.

بازنمایی فضا به صورت دو بعدی از دو روش نسبی نگری و نمودار مکمل انجام شده و مقطع برای روش بازنمایی نسبی نگری یکبار درجه ۱ و یکبار درجه ۲ در نظر گرفته شده است و برای روش بازنمایی نمودار مکمل مقطع دایره در نظر گرفته شده است. فلذا اطلاعات استخراج شده با سه قطع مختلف و در دو فضای متفاوت صورت گرفته است. به نظر میرسد با توجه به دینامیک سیستمهای آشوبگونه برای رسیدن به قطع مناسب دو محدودیت همزمان مورد توجه قرار گرفته است: اولاً بهترین قطع جایی است که بیشترین تعداد قطع را داشته باشیم و ثانیاً محلی باشد که بسط داشته باشیم.

۴-۱ روش بازنمایی نسبی نگری و قطع درجه ۱

در این حالت از روش بازنمایی نسبی نگری و قطع درجه اول با معادله $Y = aX + \beta$ استفاده شده است. در کاربردهای مختلف آنچه مرسوم است قطع با خط $Y = X$ است که بیشترین تعداد نقاط برخورد را تأمین می کند [۶۵-۶۷] اما برای شرط دوم قطع یعنی نقاطی که دارای بسط باشد مناسب نیست زیرا در این نقاط نقاطی هستند که مقدار نمونه قبلی و بعدی یکسان شده اند و در واقع نقاط قبض هستند نه بسط. فلذا در الگوریتم تعیین بهترین نقطه قطع معیار دیگری علاوه بر تعداد نقاط در نظر گرفته شد و آن استفاده از یک معیار کارایی زیر در نقاط قطع پوانکاره می باشد.

$$Div = \sqrt{(x_{k+2} - x_{k+1})^2 + (x_{k+1} - x_k)^2}$$

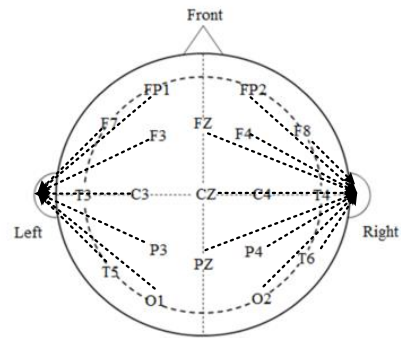
برای قابل مقایسه بودن مقادیر بسط در قطعه‌های مختلف (و در نتیجه تعداد نقاط قطع مختلف) معیار Div به صورت زیر اصلاح می گردد:

$$Divergence = \frac{Div}{n}$$

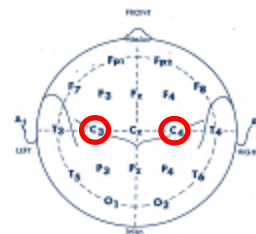
حال با این دو معیار یعنی تعداد نقاط قطع و فاصله نقاط قطع (بصورت جهت دار) می توان به قطع مطلوب رسید.

ناحیه ای مطلوبست که تعداد حداکثر و واگرایی هم حداکثر گردد همانطور که از قبل حدس زده می شد حوالی خط $Y = X$ بیشترین تعداد نقاط قطع را خواهیم داشت اما معیار بیشترین بسط نشان می دهد که

سوم دادگان ثبت شده در اتاق صدای مرکز اُتسم نورهدایت مشهد به صورت دو کاناله و فقط روی کانالهای C_3 و C_4 در سه وضعیت زمینه (۲ دقیقه)، کارتین با صدا (۵ دقیقه)، همان کارتین بدون صدا (۵ دقیقه)، ثبت شده است. اتاق صدا اتاقی اکوستیک بدون نویزهای محیطی با قابلیت کنترل دقیق صدا و تصویر است که برای توانمندسازی کودک استفاده می شود. ضمناً فرکانس نمونه برداری دستگاه در هر سه وضعیت ۲۵۶ است. نکته قابل توجه اینکه در پردازشها پنجره ۲ ثانیه ای از سیگنال در نظر گرفته شده و روی کل سیگنال با فواصل ۲ ثانیه‌ای پردازشها انجام شده است که در شکلهای آتی فقط دو ثانیه از قطع نمایش داده شده است.



الف



ب



پ

فرم اعلامی ترک ثبت داده

نام و نام خانوادگی: ...
 تاریخ ثبت: ۱۳۹۴ ...
 سن: ۹ ...

راست دست: چپ دست:
 تحصیلات: ...
 شکل مادرزادی: ...

آیا سابقه ایفا به بیماریهای قلبی یا دستگاههای قلبی دارید؟
 - آری
 - خیر

آیا در چند روز اخیر از تپش قلبی که احتمالاً در حالت خوابی تپش قلبی دارید (تپش قلبی) یا تپش قلبی دارید؟
 - آری
 - خیر

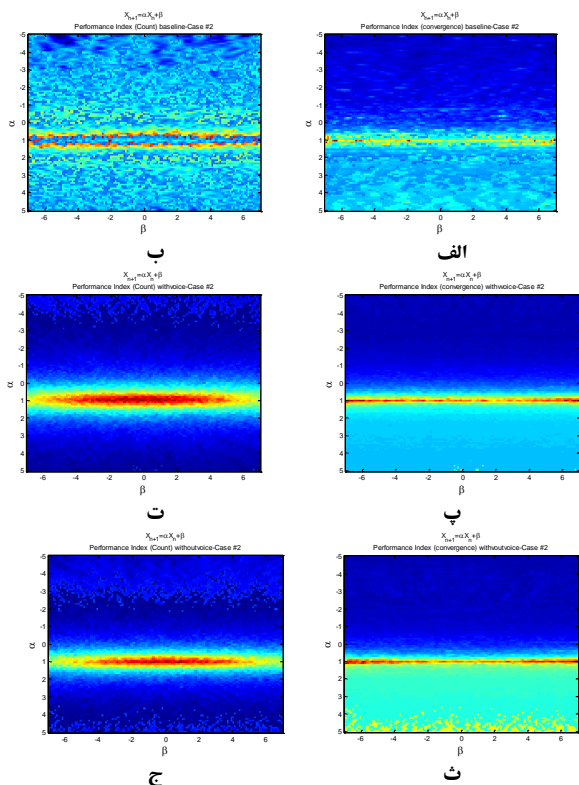
آیا در ۲۴ ساعت گذشته از نظر خواب، در وضعیت مناسبی خوابیده‌اید؟
 - آری
 - خیر

آیا در ۲۴ ساعت گذشته، شلخته خواب در هیچ یک از سانس‌های بدن خود داشته‌اید؟
 - آری
 - خیر

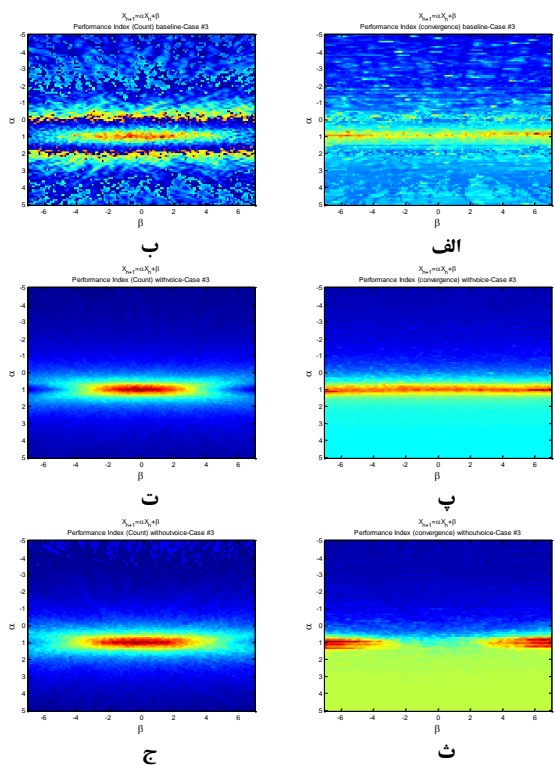
آیا در ۲۴ ساعت گذشته، در هیچ یک از سانس‌های بدن خود، احساس لرزش یا تپش قلبی داشته‌اید؟
 - آری
 - خیر

تاریخ ثبت: ۱۳۹۴/۰۳/۰۳
 نام پزشک: ...
 نام بیمار: ...

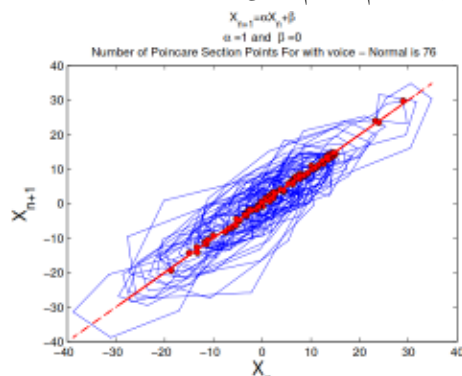
عرض از مبدا می‌تواند باعث شود که بسط داشته باشیم یعنی بایستی $\alpha = 1$ باشد و β می‌تواند کمک کننده در رسیدن به قطع بهتر باشد. و این مطلب در سالم و اُتسم تفاوتی ندارد.



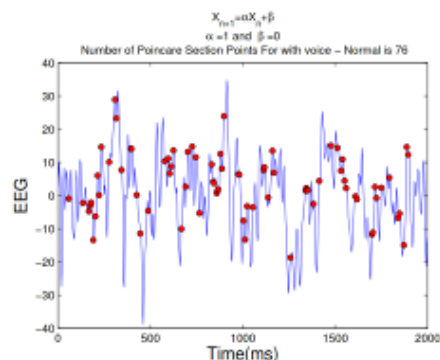
شکل ۸. بررسی صفحه پوانکاره بینه یک بعدی در سالم (فضای بازسازی شده‌ی نسبی تگر) سمت چپ معیار بیشترین تعداد برخورد، سمت راست معیار بیشترین بسط سیگنال



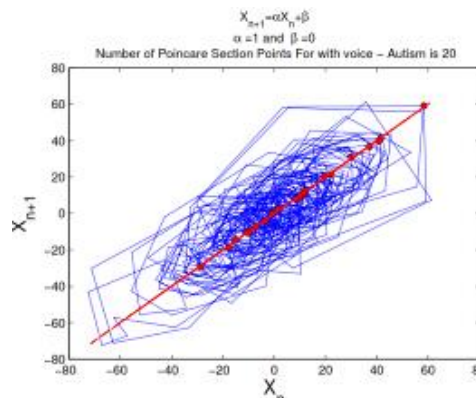
شکل ۹. بررسی صفحه پوانکاره بینه یک بعدی در اُتسم (فضای بازسازی شده‌ی نسبی تگر) سمت چپ معیار بیشترین تعداد برخورد، سمت راست معیار بیشترین بسط سیگنال



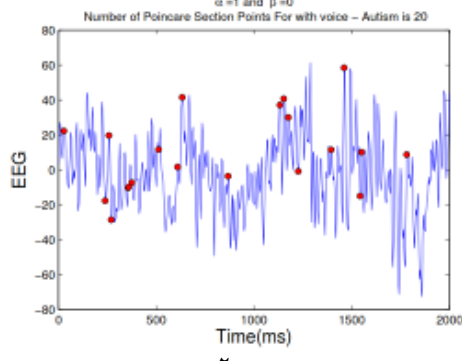
الف ۱



الف ۲



ب ۱

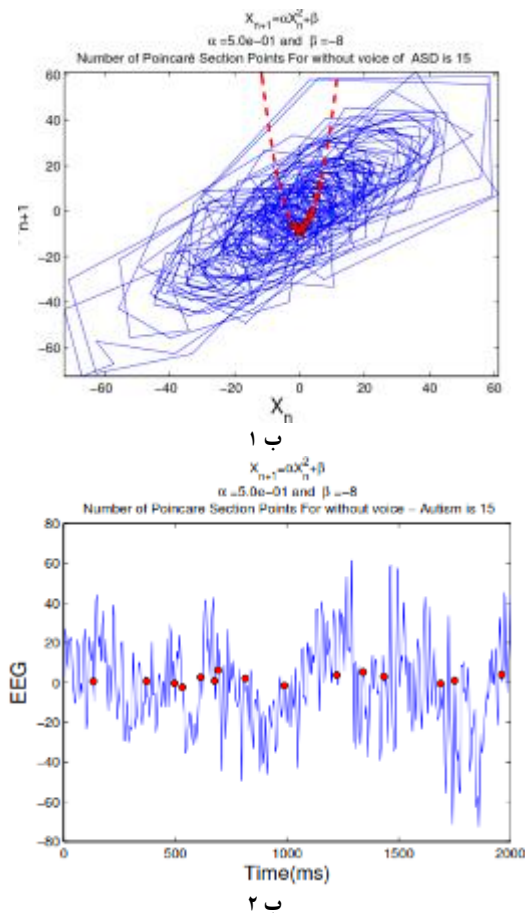


ب ۲

شکل ۱۰. قطع پوانکاره سیگنال EEG با خط $Y=X$ در فضای بازسازی شده نسبی تگر و حوزه زمان الف. سالم ب. ASD

۲-۴ روش بازنمایی نسبی نگری و قطع درجه ۲

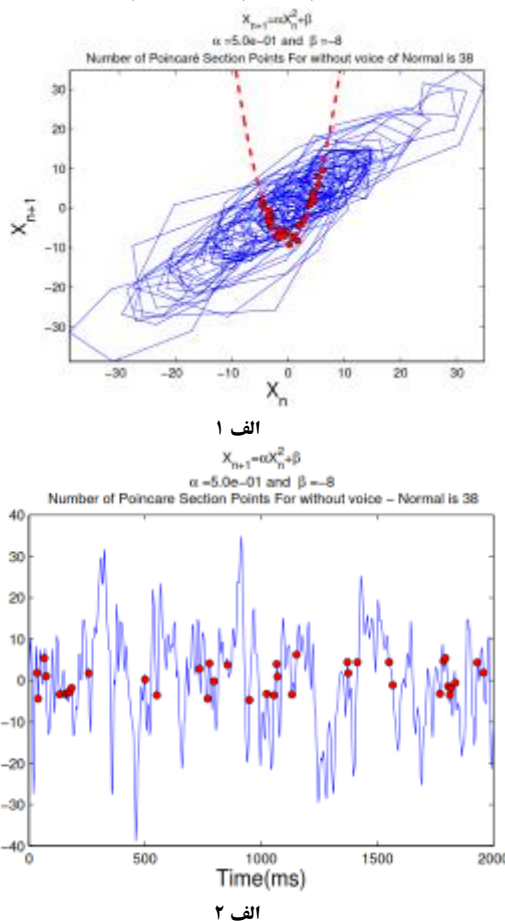
قطع پوانکاره در واقع سوالی است که در بازنمایی مطلوب از دینامیک سیستم پرسیده می شود قطعاً هرچه سوال پرسیده شده فنی تر باشد پاسخ داده شده زوایای بیشتری از دینامیک را آشکار خواهد کرد در قطع بهینه پوانکاره هدف رسیدن به بیشترین بسط و با بیشترین تعداد نقاط است و در قطع درجه ۱ با محدودیت برخورد می کنیم زیرا قطع درجه سوال ساده ای از دینامیک سیگنال است که پاسخ ساده ای نیز خواهد داشت و هم از نقاط قبض هم از نقاط بسط سیگنال برداشت خواهیم داشت و شکل ۸ بررسی پوانکاره بهینه یک بعدی در سالم (فضای بازسازی شده ی نسبی نگر) سمت چپ معیار بیشترین تعداد برخورد، سمت راست معیار بیشترین بسط سیگنال شکل ۸ مؤید این موضوع است که در راستای $Y = X$ قطع تشخیص داده میشود درحالی که میدانیم این راستا جایی است که $X_{n+1} = X_n$ باشد و این مفهومی متناقض با بسط است. خصوصیت ویژه قطع سهمی انتخاب شده با معادله $Y = \alpha X^2 + \beta$ آن است که به ما این امکان را می دهد بدون درگیر شدن با نقاط قبض فقط از نقاط بسط سیگنال آن هم در جایی که بیشترین تراکم را داریم برداشت کنیم.



شکل ۱۰ قطع پوانکاره سیگنال EEG با خط $Y = 0.5X^2 - 8$ در فضای بازسازی شده نسبی نگر و حوزه زمان الف. سالم. ب. ASD.

۳-۴ روش بازنمایی نمودار مکمل و قطع دایره ای

نمودار مکمل یکی از مناسبترین بازنمایی ها برای قطع پوانکاره است زیرا همانطور که در مورد خصوصیات آن گفته شد نگاهی کاملاً کیفی به سیگنال دارد. با توجه به شرایط ویژه این بازنمایی در این وضعیت از قطع دایره ای با رابطه $Y^2 + X^2 = R^2$ استفاده خواهد شد، قابل توجه اینکه برخلاف بازنمایی های قبلی که قطع دایره ای مفهوم انرژی سیگنال را دارد اینجا قطع دایره ای به فازها توجه دارد. برای یافتن نقاط تقاطع تراژکتوری خط واصل بین هر نقطه و نقطه بعدی در نمودار مکمل ترسیم و تقاطع آن با دایره مفروض بدست می آید. البته با توجه به فرکانس نمونه برداری خطوط و مقطع، در این فضا بایستی حداقل خطایی - را به عنوان آستانه - در برنامه فرض کرد. نمودارهای مکمل مورد استفاده در این تحقیق نمودار مکمل استاندارد، نمودار مکمل توسعه یافته هستند که در بخش قبل به تفصیل در مورد آن توضیح داده شد و در ادامه به اعمال آنها بر سیگنال EEG و خصوصیات آنها خواهیم پرداخت.



۴-۴ استخراج تغییر الگوی سیگنال مغزی اُتِسم نسبت به

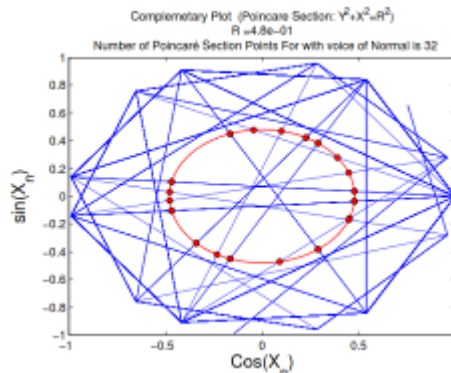
سالم با استفاده از قطع پوانکاره

در این تحقیق استخراج تغییر الگوی سیگنال مغزی اُتِسم نسبت به سالم با استفاده از قطع پوانکاره انجام شده است، یکی از الگوها تغییر تعداد نقاط قطع پوانکاره در بازنمایی‌های مختلف است. در شکل ۱۳ اثر تغییر شعاع مقطع دایره‌ای در نمودار مکمل استاندارد بر تعداد نقاط مورد بررسی قرار داده شده است. همانطور که مشاهده میشود الگوی تغییرات در سالم و اُتِسم (شکل ۱۳) کاملاً متفاوت است و پله‌های تغییر و نوسانات هر پله با پله دیگر در قطع پوانکاره ی نمودار مکمل استاندارد معیاری قابل توجه شگفت انگیز در تشخیص است. شکل ۱۴ معیاری بسیار تعیین کننده و گرف را در شناسایی دینامیک اُتِسم نشان میدهد و آن تعداد نقاط قطع پوانکاره در تغییر شعاع دایره مقطع با نمودار مکمل گسترش یافته است همانطور که مشاهده می‌شود رنج تغییرات و دینامیک تغییرات کاملاً متفاوت است. در این تحقیق از ۴ نوع مقطع معرفی شده برای تشخیص تغییر دینامیک در اختلال اُتِسم استفاده گردید. (جدول ۲)

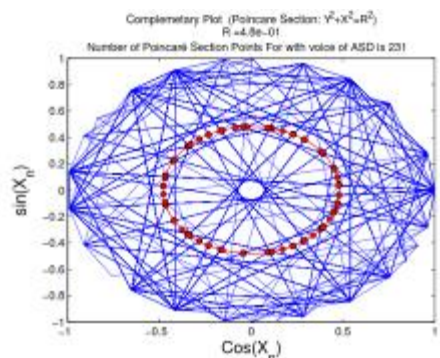
جدول ۲ انواع قطع پوانکاره های مورد استفاده در این تحقیق

نوع مقطع	نوع بازنمایی
مقطع درجه ۱ (نوع اول) $Y = aX + \beta$	بازنمایی نسبی گرایی
مقطع درجه ۲ (نوع دوم) $Y = aX^2 + \beta$	بازنمایی نمودار مکمل استاندارد (نوع سوم)
مقطع دایره ای $Y^2 + X^2 = R^2$	بازنمایی نمودار مکمل گسترش یافته (نوع چهارم)

ویژگیهای مورد استفاده در تشخیص تغییر دینامیک در جدول ۳ آمده است این ویژگیها برای ۴ نوع مقطع معرفی شده و برحسب تعداد نقاط برخورد، میانگین و واریانس فاصله نقاط برخورد تا مبدا، میانگین و واریانس زاویه نقاط برخورد با محور افقی، تعیین شده اند. در واقع بوسیله این ویژگیها کیفیت تغییرات مورد بررسی قرار میگیرد. در قطعهای مختلف و نتایج مشابهی در تشخیص داده شد که بهترین نتیجه مربوط به بازنمایی نمودار مکمل گسترش یافته (شکل ۵) و قطع دایره ای بوده است. بدین ترتیب که در تحلیل آماری انجام شده بر ویژگیهای ۱۶ گانه بهترین ویژگی $NCPSP_4$ بوده است که در اختلال طیف اُتِسم (0.197 ± 0.076) و در گروه کنترل (0.4421 ± 0.1030) است و دارای سطح معناداری بسیار مناسبی است $(P < 0.01)$ است و ویژگیهای $NCPSP_3$ ، M_{PPSP_2} ، V_{PPSP} نیز ویژگیهای قابل توجهی با سطح معناداری $(P < 0.03)$ هستند. در تحقیقی که بر روی ASD با استفاده از ابزار موجک و (استخراج همدوسی در توان) و با شرایط ثبت خاص انجام شده بود بهترین نتایج $(P = 0.04)$ گزارش گردیده است. [۶۸] به نظر میرسد علت پاسخ بسیار مناسب $NCPSP_4$

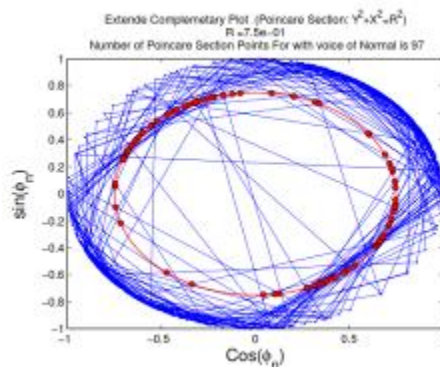


الف

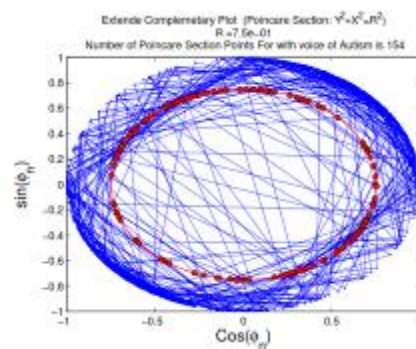


ب

شکل ۱۱ قطع پوانکاره سیگنال EEG با دایره $Y^2 + X^2 = R^2$ در فضای بازسازی شده نمودار مکمل استاندارد الف. سالم ب. ASD.



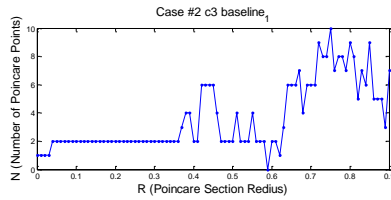
الف



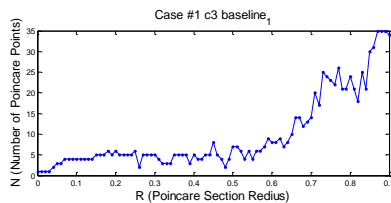
ب

شکل ۱۲ قطع پوانکاره سیگنال EEG با دایره $Y^2 + X^2 = R^2$ در فضای بازسازی شده نمودار مکمل گسترش یافته. الف. سالم ب. ASD.

کیفی بودن روش بازنمایی و توجه کامل به فاز در رفتار EEG از یک طرف و شمارش در کمی سازی بجای اندازه گیری است.

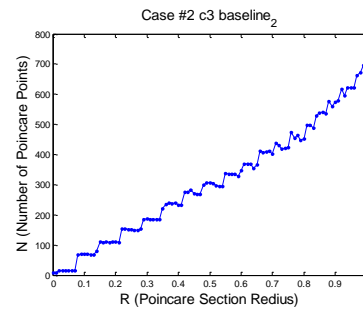


الف

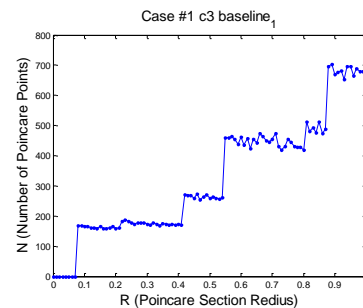


ب

شکل ۱۴ اثر تغییر شعاع مقطع بر تعداد نقاط قطع پوانکاره (بازنمایی مکمل گسترش یافته) دو تائیه از سیگنال EEG در حالت اولیه الف. سالم ب. ASD.



الف



ب

شکل ۱۳ اثر تغییر شعاع مقطع بر تعداد نقاط قطع پوانکاره (بازنمایی مکمل استاندارد) دو تائیه از سیگنال EEG در حالت اولیه الف. سالم ب. ASD.

۵- نتیجه گیری و بحث

در این تحقیق از ابزارهای جدیدی برای بازنمایی عدم تقارن در سیگنالها و انتقال آنها به فضای کیفیت و اطلاعات مبتنی بر قطع پوانکاره معرفی شدند. اساس این تحقیق بر نگرش اطلاعاتی به دینامیک سیستم مبتنی بر قطع پوانکاره استوار است و یک کاربرد آن برای تشخیص الگوی تغییرات سیگنال الکتروانسفالوگرافی مغز در اختلال اُتسم (که به اعتقاد ما یک بیماری اطلاعاتی در مغز است) نسبت به سالم پیاده سازی گردیده است. اختلال اُتسم یک اختلال خاص با اختلاف نظرهای گوناگون در نتایج تحقیق است [۷] علت آن نیز در مدلسازی انرژی و جزء نگری در روشهای معمول است. در تحقیق اخیر یک روش مدلسازی رفتاری مبتنی بر اطلاعات و کل نگری است. اهمیت نپرداختن یک شیوه-ی پردازشی به انرژی یک سیستم - به طور مطلق یا نسبی- در این است که وقتی انرژی معیار شناخت نباشد، باید شناخت را به بعد سوم سیستم- های سه وجهی یا همان اطلاعات مرتبط دانست. از آنجایی که در سیرتیک اطلاعات به عنوان وجه سوم ماهیتی مجزا از انرژی و ماده و البته در ارتباط و تعامل با آنهاست، مدلسازی اطلاعاتی باید گونه‌ای از مدلسازی باشد که اطلاعات وجه غالب آن است و قطع پوانکاره به این مضمون بسیار نزدیک است. برخی از خصوصیات ویژه این تحقیق عبارتند از: معرفی اصول اعمال قطع پوانکاره با هدف مدلسازی اطلاعاتی، معرفی یک بازنمایی کاملاً اطلاعاتی از سیگنال، معرفی یک پرتکل جدید ثبت سیگنال الکتروانسفالوگراف مبتنی بر تجربیات کار عملی با کودکان اُتسمی که محدودیتها و دشواریهای روشهای معمول را ندارد، اعمال قطع پوانکاره بر سیگنال EEG و بیان مفاهیم آن برای اولین بار در این تحقیق ارایه گردیده است.

نتایج حاصل از پیاده سازی روش مبتنی بر اطلاعات حاکی از پاسخ دقیق بی قید و شرط به این سوال است که تغییر دینامیک الگوی سیگنال EEG اُتسم چگونه است؟ و علت این تغییر دینامیک چیست؟ پاسخ به سوال اول در نقاط قطع پوانکاره (در مقطع کشف شده) است که در

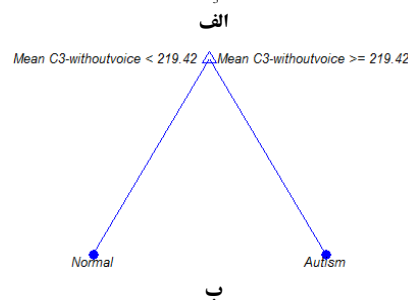
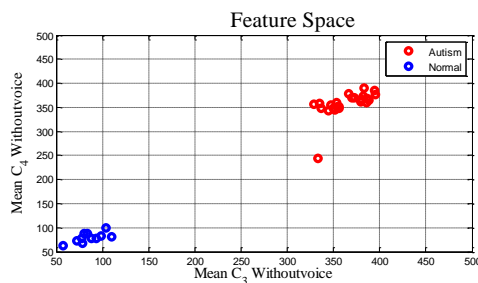
جدول ۳ فضای ویژگی و ویژگیهای استفاده شده در شناسایی تغییر دینامیک

شماره ویژگی	شرح ویژگی	اختصار
۱	تعداد نقاط برخورد با قطع بهینه نوع اول	$NCPSP_1$
۲	تعداد نقاط برخورد با قطع بهینه نوع دوم	$NCPSP_2$
۳	تعداد نقاط برخورد با قطع بهینه نوع سوم	$NCPSP_3$
۴	تعداد نقاط برخورد با قطع بهینه نوع چهارم	$NCPSP_4$
۵ و ۶	میانگین و واریانس فاصله نقاط برخورد قطع نوع اول با مبدا مختصات	M_{DPSP_1} V_{DPSP_1}
۷ و ۸	میانگین و واریانس فاصله نقاط برخورد قطع نوع دوم با مبدا مختصات	M_{DPSP_2} V_{DPSP_2}
۹ و ۱۰	میانگین و واریانس زوایای بردار نقاط برخورد قطع نوع اول با محور افقی	M_{PPSP_1} V_{PPSP_1}
۱۱ و ۱۲	میانگین و واریانس زوایای بردار نقاط برخورد قطع نوع دوم با محور افقی	M_{PPSP_2} V_{PPSP_2}
۱۳ و ۱۴	میانگین و واریانس زوایای بردار نقاط برخورد قطع نوع سوم با محور افقی	M_{PPSP_3} V_{PPSP_3}
۱۵ و ۱۶	میانگین و واریانس زوایای بردار نقاط برخورد قطع نوع چهارم با محور افقی	M_{PPSP_4} V_{PPSP_4}

۷- مراجع

- [1] L. Billeci, F. Sicca, K. Maharatna, F. Apicella, A. Narzisi, G. Campatelli, *et al.*, "On the application of quantitative EEG for characterizing autistic brain: a systematic review," *Frontiers in human neuroscience*, vol. 7, 2013.
- [2] S. E. Schipul, T. A. Keller, and M. A. Just, "Inter-regional brain communication and its disturbance in autism," *Syst. Neurosci*, pp. 5-10, 2011.
- [3] J. M. Kleinman, D. L. Robins, P. E. Ventola, J. Pandey, H. C. Boorstein, E. L. Esser, *et al.*, "The modified checklist for autism in toddlers: a follow-up study investigating the early detection of autism spectrum disorders," *Journal of autism and developmental disorders*, vol. 38, pp. 827-839, 2008.
- [4] J. A. Osterling, G. Dawson, and J. A. Munson, "Early recognition of 1-year-old infants with autism spectrum disorder versus mental retardation," *Development and psychopathology*, vol. 14, pp. 239-251, 2002.
- [5] G. Dawson, "Early behavioral intervention, brain plasticity, and the prevention of autism spectrum disorder," *Development and psychopathology*, vol. 20, pp. 775-803, 2008.
- [6] S. Mitchell, J. Brian, L. Zwaigenbaum, W. Roberts, P. Szatmari, I. Smith, *et al.*, "Early language and communication development of infants later diagnosed with autism spectrum disorder," *Journal of Developmental & Behavioral Pediatrics*, vol. 27, pp. S69-S78, 2006.
- [7] L. Billeci, F. Sicca, K. Maharatna, F. Apicella, A. Narzisi, G. Campatelli, *et al.*, "On the application of quantitative EEG for characterizing autistic brain: a systematic review," *Frontiers in Human Neuroscience*, vol. 7, pp. 1-15, August 2013.
- [8] C. Machado, M. Estévez, G. Leisman, R. Melillo, R. Rodríguez, P. DeFina, *et al.*, "QEEG Spectral and Coherence Assessment of Autistic Children in Three Different Experimental Conditions," *Journal of autism and developmental disorders*, pp. 1-19, 2013.
- [9] M. Linden and J. Gunkelman, "QEEG-guided neurofeedback for autism: Clinical observations and outcomes," in *Imaging the brain in autism*, ed: Springer, 2013, pp. 45-60.
- [10] A. Sheikhan, H. Behnam, M. R. Mohammadi, M. Noroozian, and M. Mohammadi, "Detection of abnormalities for diagnosing of children with autism disorders using of quantitative electroencephalography analysis," *Journal of medical systems*, vol. 36, pp. 957-963, 2012.
- [11] E. Hurt, L. E. Arnold, and N. Lofthouse, "Quantitative EEG Neurofeedback for the Treatment of Pediatric Attention-Deficit/Hyperactivity Disorder, Autism Spectrum Disorders, Learning Disorders, and Epilepsy," *Child and adolescent psychiatric clinics of North America*, vol. 23, pp. 465-486, 2014.
- [12] J. Strzelecka, "Electroencephalographic studies in children with autism spectrum disorders," *Research in Autism Spectrum Disorders*, vol. 8, pp. 317-323, 2014.

اختلال اُتسم نسبت به سالم تعداد نقاط و چیدمان نقاط و حتی ترتیب برخورد با مقطع تفاوت چشم گیری دارد و این تفاوت در سیگنال EEG خام با روش ساخت یافته‌ی معرفی شده و بازنمایی‌های ذکر شده، به وضوح قابل مشاهده است. در شکل ۱۵-الف فضای ویژگی MPPSP4 روی دو کانال C3 و C4 ترسیم شده است و قدرت تفکیک این ویژگی به نمایش درآمده است و نتیجه تفکیک با استفاده از درخت تصمیم گیری روی کانال C3 در وضعیت بدون صدا در شکل ۱۵-ب نشان داده شده است. و حاکی از کفایت ویژگی MPPSP4 برای دسته بندی دو گروه است.



شکل ۱۵. فضای ویژگی و درخت تصمیم گیری برای تفکیک سالم از ASD
 الف. فضای ویژگی MPPSP4 دو کانال C3 و C4 برای سالم و اُتسمی ب.
 دسته بندی کننده درخت تصمیم گیری

در پاسخ به سوال دوم بایستی به این نکته اشاره نمود که در اختلال اُتسم جریان اطلاعات در مغز دچار اختلال میگردد - نشانه آن نیز وجود عدم تقارن مغزی است - و علت طیف نامیده شدن این اختلال نیز از این واقعیت است که نمود این تغییر جریان اطلاعات در ماده (بدن) در افراد مختلف متفاوت است.

۶- تقدیر و تشکر

ثبت دادگان الکتروانسفالوگرافی کودکان اُتسمی دارای دشواریهای بسیاری است و این تحقیق با همکاری صمیمانه کلینیک خواب بیمارستان تخصصی روانپزشکی ابن سینای مشهد و متخصص مغز و اعصاب این مرکز جناب آقای دکتر وحید اسدپور، مرکز اُتسم نورهدایت مشهد و روانشناس و مدیریت محترم این مرکز سرکار خانم دکتر مریم حجتی و مرکز جامع توانبخشی و توانمند سازی آرن و مدیریت محترم این مرکز جناب آقای مهندس خاکسار صورت گرفته است از ایشان کمال تقدیر و تشکر را داریم.

- [29] M. R. H. Golpaygani, *System Cybernetic*. Mashhad: Sokhan Gostar, 1386.
- [30] F. Hyligen, "Cybernetics and Second-Order," in *Encyclopedia of Physical Science & Technology (3rd ed.)*, ed New York: Mayers, 2001, pp. 155-170.
- [31] P. Berg, Y. Pomeau, and C. Vida, *L'ordre dans le chaos*. Paris: Hermann; Nouv. ed. corr edition, 1988.
- [32] W. J. Heinz Georg Schuster, *Deterministic chaos*: Wiley, March 2006.
- [33] J. Ruelle and P. E. a. D., "Ergodic theory of chaos and strange attractors," *REVIEWS OF MODERN PHYSICS*, vol. 57, p. 617, 1985.
- [34] J. Piskorski and P. Guzik, "Geometry of the Poincaré plot of RR intervals and its asymmetry in healthy adults," *PHYSIOLOGICAL MEASUREMENT*, vol. 28, pp. 287–300, 2007.
- [35] M. BRENNAN, M. PALANISWAMI, and P. KAMEN, "Poincaré plot interpretation using a physiological," *Am J Physiol Heart Circ Physiol*, vol. 283, pp. 1873-1886, 2002.
- [36] X. Jin-yi, Q. Yan-yan, C. Qiong, W. Qing-yi, and W. Yao-han, "Analysis of RR-Lorenz Plot in Patients of Sinus Rhythm With Long RR Interval," *Chinese Circulation Journal*, vol. 29, pp. 529-531, 2014.
- [37] H. GUURUULER, M. SAHIN, and A. FERIKOUGLU, "Feature selection on single-lead ECG for obstructive sleep apnea diagnosis," *Turkish Journal of Electrical Engineering & Computer Sciences*, vol. 22, pp. 465 - 478, 2014.
- [38] A. Voss, C. Fischer, R. Schroeder, H. R. Figulla, and M. Goernig, "Segmented Poincaré Plot Analysis," *Methods Inf Med*, vol. 5, pp. 511-515, 2010.
- [39] M. Toichi, T. Sugiura, T. Murai, and A. Sengoku, "A new method of assessing cardiac autonomic function and its comparison with spectral analysis and coefficient of variation of R-R interval," *J Auton Nerv Syst.*, vol. 62, pp. 79-84, 1997.
- [40] U. R. Acharya, K. P. Joseph, N. K. C. M. Lim, and J. S. Suri, "Heart rate variability: a review," *Med Bio Eng Comput*, vol. 44, pp. 1031–1051, 2006.
- [41] N. J. Dabanloo, S. Moharreri, S. Parvaneh, and A. Nasrabadi, "Application of Novel Mapping for Heart Rate Phase Space and Its Role in Cardiac Arrhythmia Diagnosis," *Computing in Cardiology*, vol. 37, p. 209–212, 2010.
- [42] A. B. a. A. Destexhe, "Is the Normal Heart a Periodic Oscillator?," *Biol. Cybern.*, vol. 58, pp. 203-211, 1988.
- [43] E. Conte, A. Federici, and J. P. Zbilut, "A new method based on fractal variance function for analysis and quantification of sympathetic and vagal activity in variability of R–R time series in ECG signals," *Chaos, Solitons and Fractals*, vol. 41, pp. 1416–1426, 2009.
- [44] T. D. Pham, T. C. Thang, M. Oyama-Higa, and M. Sugiyam, "Mental-disorder detection using chaos and nonlinear dynamical analysis of photoplethysmographic signals," *Chaos, Solitons & Fractals*, vol. 51, pp. 64–74, 2013.
- [45] E. D. ÜBEYL and I. GÜLER, "Statistics over Lyapunov Exponents for Feature Extraction: Electroencephalographic Changes Detection Case," *TRANSACTIONS ON ENGINEERING*,
- [13] D. S. Cantor, R. W. Thatcher, M. Hrybyk, and H. Kaye, "Computerized EEG analyses of autistic children," *Autism Dev. Disord*, vol. 16, pp. 169–187, 1986.
- [14] E. V. Orekhovaa, T. A. Stroganovac, G. Nygrenb, M. M. Tsetlinc, I. N. Posikerac, C. Gillbergb, et al., "Excess of High Frequency Electroencephalogram Oscillations in Boys with Autism," *Biological Psychiatry*, vol. 62, pp. 1022–1029, 1 November 2007.
- [15] A. S. Chan, Y. M. Y. Han, S. L. Sze, M. Che-ung, W. W. Leung, and R. C. K. Chan, "Disordered connectivity associated with memory deficits in children with autism spectrum disorders," *Autism Spectr. Disord*, 2011.
- [16] R. Cobena, A. R. Clarke, W. Hudspeth, and R. J. Barryb, "EEG power and coherence in autistic spectrum disorder," *Clinical Neurophysiology*, vol. 119, pp. 1002–1009, May 2008.
- [17] N. Pop-Jordanova, T. Zorcec, A. Demerdzieva, and Z. Gucev, "QEEG characteristics and spectrum weighted frequency for children diagnosed as autistic spectrum disorder," *Nonlinear Biomedical Physics*, vol. 4, 2010.
- [18] K. J. Mathewsona, M. K. Jethaa, I. E. Drmicd, S. E. Brysonc, J. O. Goldberg, and L. A. Schmidt, "Regional EEG alpha power, coherence, and behavioral symptomatology in autism spectrum disorder," *Clinical Neurophysiology*, vol. 123, pp. 1798–1809, September 2012.
- [19] A. Sheikhan, H. Behnam, M. R. Mohammadi, M. Noroozian, and M. Mohammadi, "Detection of abnormalities for diagnosing of children with autism disorders using of quantitative electroencephalography analysis," *Journal of medical systems*, vol. 36, pp. 957-963, 2012.
- [20] R. W. Thatcher, D. Northa, and C. Bivera, "EEG and intelligence: Relations between EEG coherence, EEG phase delay and power," *Clinical Neurophysiology*, vol. 116, pp. 2129–2141, September 2005.
- [21] W. Bosl, A. Tierney, H. Tager-Flusberg, and C. Nelson, "EEG complexity as a biomarker for autism spectrum disorder risk," *BMC Medicine*, vol. 9, 2011.
- [22] M. Ahmadlou, H. Adeli, and A. Adeli, "Fractality and a Wavelet-Chaos-Neural Network Methodology for EEG-Based Diagnosis of Autistic Spectrum Disorder," *Journal of Clinical Neurophysiology*, vol. 27 pp. 328-333, October 2010.
- [23] N. Wiener, *Cybernetics or Control and Communication in the Animal and the Machine* vol. 25: MIT press, 1961.
- [24] B. Korzeniewski, "Cybernetic Formulation of the Definition of Life," *Journal of Theoretical Biology*, vol. 209, pp. 275-286, 4/7/ 2001.
- [25] F. Heylighen and C. Joslyn, "Cybernetics and second order cybernetics," *Encyclopedia of physical science & technology*, vol. 4, pp. 155-170, 2001.
- [26] H. W. Franke, "A Cybernetic Approach to Aesthetics," *Leonardo*, vol. 10, pp. 203-206, 1977.
- [27] H. Von Foerster, "Cybernetics of cybernetics," *Understanding understanding*, pp. 283-6, 2003.
- [28] B. Korzeniewski, "Confrontation of the Cybernetic Definition of a Living Individual with the Real World," *Acta Biotheoretica*, vol. 53, pp. 1-28, 2005/04/01 2005.

- [59] I. Dvořák, "Takens versus multichannel reconstruction in EEG correlation exponent estimates," *Physics Letters A*, vol. 151, pp. 225–233, 10 December 1990.
- [60] R. Sharma and R. B. Pachori, "Classification of epileptic seizures in EEG signals based on phase space representation of intrinsic mode functions," *Expert Systems with Applications*, vol. 42, pp. 1106–1117, 15 February 2015.
- [61] J. Gao, J. Hu, and W.-w. Tung, "Complexity measures of brain wave dynamics," vol. 5, 2011.
- [62] O. Sasakia, P.-M. Gageyb, A. M. Ouakninec, J. Martinieried, M. L. V. Quyend, M. Toupete, *et al.*, "Nonlinear analysis of orthostatic posture in patients with vertigo or balance disorders," *Neuroscience Research*, vol. 41, pp. 185–192, October 2001.
- [63] H. SABELLI, "COMPLEMENT PLOTS: ANALYZING OPPOSITES REVEALS MANDALA-LIKE PATTERNS IN HUMAN HEART BEATS," *International Journal of General Systems*, vol. 29, pp. 799-830, 2000.
- [64] R. Hilborn, *Chaos and Nonlinear Dynamics: An Introduction for Scientists and Engineers*. USA: Oxford University Press, January 11, 2001.
- [65] J. Piskorski and P. Guzik, "Geometry of the Poincaré plot of RR intervals and its asymmetry in healthy adults," *Physiological measurement*, vol. 28, p. 287, 2007.
- [66] A. M. Climent, M. de la Salud Guillem, D. Husser, F. Castells, J. Millet, and A. Bollmann, "Poincare surface profiles of RR intervals: a novel noninvasive method for the evaluation of preferential AV nodal conduction during atrial fibrillation," *Biomedical Engineering, IEEE Transactions on*, vol. 56, pp. 433-442, 2009.
- [67] J. Piskorski and P. Guzik, "Filtering poincare plots," *Computational methods in science and technology*, vol. 11, pp. 39-48, 2005.
- [68] A. Catarino, A. Andrade, O. Churches, A. P. Wagner, S. Baron-Cohen, and H. Ring, "Task-related functional connectivity in autism spectrum conditions: an EEG study using wavelet transform coherence," *Molecular Autism*, vol. 4, pp. 1-14, 2013// 2013.
- [46] B. Ibarz, J. M. Casado, and M. A. F. Sanjuán, "Map-based models in neuronal dynamics," *Physics Reports*, vol. 501, pp. 1–74, 2011.
- [47] M. Amiri, E. Davoodi-Bojd, F. Bahrami, and M. Raza, "Bifurcation analysis of the Poincaré map function of intracranial EEG signals in temporal lobe epilepsy patients," *Mathematics and Computers in Simulation*, vol. 81, pp. 2471-2491, 2011.
- [48] P. Channell, G. Cymbalyuk, and A. Shilnikov, "Applications of the poincare mapping technique to analysis of neuronal dynamics," *Neurocomputing*, vol. 70, pp. 2107-2111, 2007.
- [49] B. Ibarz, J. M. Casado, and M. A. Sanjuán, "Map-based models in neuronal dynamics," *Physics Reports*, vol. 501, pp. 1-74, 2011.
- [50] N. Rulkov, I. Timofeev, and M. Bazhenov, "Oscillations in large-scale cortical networks: map-based model," *Journal of computational neuroscience*, vol. 17, pp. 203-223, 2004.
- [51] T. A. Denton and G. A. Diamond, "Can the analytic techniques of nonlinear dynamics distinguish periodic, random and chaotic signals?," *Computers in Biology and Medicine*, vol. 21, pp. 243–263, 1991.
- [52] C. J. Stam, "Nonlinear dynamical analysis of EEG and MEG: Review of an emerging field," *Clinical Neurophysiology* 116, pp. 2266–2301, 2005.
- [53] F. Takens, "Detecting strange attractors in turbulence," *Lecture Notes in Mathematics* vol. 898, pp. 366-381, 1981.
- [54] "Review Article Chaotic Time Series Analysis," vol. 2010, 2010.
- [55] A. M. F. a. H. L. Swinney, "Independent coordinates for strange attractors from mutual information," *Phys. Rev. A* 33, 1134, vol. 33, pp. 1134-1140, 1 February 1986.
- [56] P. Grassberger, "GENERALIZED DIMENSIONS OF STRANGE ATTRACTORS," *Physics Letters A*, vol. 97, pp. 227–230, 5 September 1983.
- [57] M. B. Kennel, R. Brown, and H. D. I. Abarbanel, "Determining embedding dimension for phase-space reconstruction using a geometrical construction," *Phys. Rev. A* , 3403 – Published, vol. 45, pp. 3403-3411, 1 March 1992.
- [58] I. Dvorak and J. Siska, "On some problems encountered in the estimation of the correlation dimension of the EEG," *Physics Letters A*, vol. 118, pp. 63–66, September 1986.

¹ **Complement plots** are created by calculating the sine and cosine of each term of a time series, plotting them in the XY plane. and drawing a chord between successive points to represent transitions